

# Structures bihamiltoniennes partielles

Patrick Cabau & Fernand Pelletier

## Résumé

Nous introduisons dans cet article trois notions de structures bihamiltoniennes partielles (PQ, PN et P $\Omega$ ) dans le cadre  $c^\infty$ -complet au sens de Frölicher, Kriegl et Michor (ou cadre adapté), étudions des objets géométriques liés à ces structures et en donnons des exemples à la fois en dimensions finie et infinie.

**MSC 2010.**- 53D17, 46T05, 58A30; secondary : 18A30, 35Q53 37K30.

**Mots-clés.**- Structures de Poisson partielles; variétés bistructurées partielles; distributions caractéristiques.

## Table des matières

<b>1</b>	<b>Introduction</b>	<b>2</b>
<b>2</b>	<b>Cadre <math>c^\infty</math>-complet ou adapté</b>	<b>4</b>
<b>3</b>	<b>Variétés de Poisson partielles</b>	<b>7</b>
3.1	Structures de Poisson linéaires partielles . . . . .	8
3.2	Variétés de Poisson partielles . . . . .	10
3.2.1	L'algèbre $\mathfrak{A}(U)$ . . . . .	10
3.2.2	Structures de Poisson partielles . . . . .	13
3.2.3	Morphismes et applications de Poisson . . . . .	15
3.2.4	Exemples de variétés de Poisson partielles . . . . .	16
3.2.5	Distribution caractéristique . . . . .	21
3.2.6	Fonctions de Casimir . . . . .	26
3.2.7	Structure de Poisson partielles polarisées . . . . .	29
3.2.8	Processus de restriction . . . . .	31
3.2.9	Processus de projection . . . . .	33
<b>4</b>	<b>Couple de variétés hamiltoniennes partielles compatibles</b>	<b>34</b>
4.1	Variétés PQ partielles . . . . .	35
4.1.1	Exemples de variétés de Poisson partielles compatibles . .	36
4.1.2	Famille de crochets d'une variété PQ partielle . . . . .	37
4.1.3	Distributions caractéristiques associées . . . . .	37
4.1.4	Fonctions de Casimir et chaîne de Magri-Lénard . . . . .	40

4.1.5	Fonctions de Casimir et feuilletages pour l'équation de KdV	42
4.2	Variétés PN partielles	43
4.2.1	Tenseur de Nijenhuis	43
4.2.2	Variétés PN partielles adaptées	43
4.2.3	Exemples	44
4.2.4	Processus de restriction	44
4.2.5	Processus de projection	44
4.3	Variétés PΩ partielles	45
4.3.1	Exemples	45
4.3.2	Opérateur de récursion	46

## 1 Introduction

En Mécanique ou en Physique Mathématique, les structures mises en jeu (variétés, fibrés, algébroïdes de Lie) peuvent être de dimension finie, de type Banach, Hilbert ou Fréchet, ou plus généralement des limites inverses ou directes de telles structures.

Dans ces domaines, la notion de système hamiltonien apparaît comme fondamentale et est intimement liée à l'existence de structure de Poisson. En 1978, F. Magri introduit dans [Mag78] le concept de structure bihamiltonienne pour les systèmes intégrables (voir aussi le document de référence [MaMo84] pour une étude développée émaillée de nombreux exemples). Du point de vue géométrique, ceci correspond à l'existence de deux structures de Poisson liées par un opérateur de récursion permettant de générer une suite d'intégrales premières.

Cette structure apparaît bien entendu sur des espaces de configuration de dimension finie, notamment sur des groupes de Lie (correspondant aussi à des groupes de symétrie).

Il s'avère que ce concept est aussi parfaitement adapté au cadre des équations d'évolution : la célèbre équation de Korteweg-de Vries (KdV)

$$u_t = u_{xxx} + 6uu_x$$

peut être écrite sous forme bihamiltonienne dans le cadre de divers espaces de configuration définis via des limites projectives :

- groupe de Virasoro  $\text{Diff}^\infty(\mathbb{S}^1) \times \mathbb{R}$  (cf. [KhMi03]) où elle correspond à l'équation d'Euler décrivant le flot géodésique relativement à une métrique  $L^2$  invariante à droite<sup>1</sup>, ce groupe apparaissant comme limite projective des groupes  $\text{Diff}^k(\mathbb{S}^1) \times \mathbb{R}$  (cf. [Sch04]) ;

---

1. La notion d'équation d'Euler sur un groupe de Lie  $G$  a été introduite par V. Arnold dans [Arn66] :

- $G = SO(3)$  pour un solide ;
- $G = \text{SDiff}(M)$  groupe des difféomorphismes préservant le volume pour un fluide idéal remplissant un domaine  $M$ .

- tour hilbertienne d’espaces de Sobolev  $(\mathcal{H}^n)_{n \in \mathbb{Z}}$ , où  $\mathcal{H}^n = H^n(\mathbb{S}^1, \mathbb{R})$  (cf. [KaMa98]);
- algèbroïde de Lie variationnelle (cf. [KiVa11]) au-dessus du fibré des jets d’ordre infini de sections d’un fibré de rang fini au dessus d’une variété de dimension finie.

En dimension finie, la notion de structure de Poisson correspond à une variété lisse  $M$  dont l’algèbre des fonctions lisses  $C^\infty(M)$  est munie d’un crochet  $\{.,.\}$ , i.e. d’une application bilinéaire antisymétrique  $C^\infty(M) \times C^\infty(M) \rightarrow C^\infty(M)$  qui satisfait à la fois les identités de Jacobi et de Leibniz. A toute fonction lisse  $f$ , est associée *via* le crochet une dérivation  $g \mapsto \{f, g\}$  qui correspond à un champ de vecteurs  $X_f$  appelé champ de vecteurs hamiltonien associé à l’hamiltonien  $f$ .

Une extension d’une telle structure au contexte des espaces de Banach a été définie dans [OdRa03] et étudiée dans une série de papiers par A. Odziejewicz, T. Ratiu et leurs collaborateurs (voir par exemple [OdRa08a], [OdRa08b] et [Rat11]). Dans le cas d’une variété modélée sur un espace de Banach non réflexif, l’existence d’un champ hamiltonien  $X_f$  requiert une condition supplémentaire sur le tenseur de Poisson  $P$  associé au crochet.

Dans un cadre plus général, en dimension infinie, le crochet de Poisson est uniquement défini sur une sous-algèbre  $\mathfrak{A}(M)$  of  $C^\infty(M)$  comme décrit dans [NST14] et [PeCa19].

Cette situation est modélisée par la notion de *structure de Poisson partielle*.

Essentiellement, on considère :

- l’algèbre  $\mathfrak{A}(M)$  des fonctions lisses  $f$  sur  $M$  dont toutes les différentielles d’ordre supérieur  $d_x^k f(., u_2, \dots, u_k)$  ( $k$  entier naturel non nul) appartiennent à  $T_x^b M$  pour tout point  $x$  de  $M$ , tout  $(k-1)$ -uplet  $(u_2, \dots, u_k)$  de  $T_x M$  où  $T^b M$  est un sous-fibré faible du fibré cotangent cinématique  $T' M$  de la variété  $M$  ;
- un morphisme de fibrés  $P : T^b M \rightarrow TM$  tel que

$$\{f, g\}_P = dg(P(df))$$

définit un crochet de Poisson sur  $\mathfrak{A}(M)$ .

On s’intéresse alors dans cet article aux situations d’une variété adaptée<sup>2</sup>  $M$  munie

1. soit de deux structures de Poisson partielles compatibles  $P$  et  $Q$  définies sur le même sous-fibré  $T^b M$ , i.e. où  $P + Q$  vérifie les mêmes conditions que  $P$  et  $Q$  ;
2. soit d’une structure de Poisson partielle  $P$  définie sur  $T^b M$  et d’un tenseur de Nijenhuis  $N$  compatible avec  $P$  ;

---

2. ou  $c^\infty$ -complète au sens de Kriegl et Michor

3. soit d'une structure de Poisson partielle  $P$  définie sur  $T^bM$  et une structure symplectique faible  $\Omega$  à valeurs dans  $T^bM$ , ces deux structures vérifiant la condition de compatibilité  $d(\Omega P\Omega) = 0$ .

## 2 Cadre $c^\infty$ -complet ou adapté

Le calcul différentiel en dimension infinie a été développé par Jacques Bernoulli, Leonhard Euler et Joseph-Louis Lagrange dans le cadre de la recherche de minimisation d'intégrales de fonctionnelles.

De nombreuses théories de la différentiation ont été proposées au delà du simple cadre d'espaces de Banach, principalement sur des certains espaces vectoriels topologiques localement convexes (e.v.t.l.c.). Apparaissent alors de nombreux problèmes :

- une équation différentielle ordinaire peut ne pas avoir de solutions et tant est que solution existe, on n'est pas assuré de son unicité ;
- il n'existe pas de théorème d'inversion locale naturel ;
- il n'existe pas de topologie naturelle sur le dual et, qui plus est, aucune de ces topologies n'est métrisable.

Ces diverses théories ont été développées de diverses manières en fonction du type de dérivée requise (cf. [Mich38], [Bas64], [Kel74], [Les82]). On obtient alors divers calculs différentiels non équivalents sur des e.v.t.l.c. et par voie de conséquence sur des structures géométriques fondées sur de tels espaces (variétés, fibrés, groupes de Lie, algébroides).

Un point clé au sein de ces diverses approches est le cadre du calcul différentiel adapté<sup>3</sup> introduit par A. Frölicher et A. Kriegl (see [FrKr88]), ce cadre semble correspondre au calcul différentiel adéquat en dimension infinie.

**DÉFINITION 2.1.** *La  $c^\infty$ -topologie sur un e.v.t.l.c.  $\mathbb{E}$  est la topologie finale pour toutes les courbes infiniment différentiables (ou lisses)  $\mathbb{R} \rightarrow \mathbb{E}$ . L'espace vectoriel  $\mathbb{E}$  muni de cette topologie est noté  $c^\infty\mathbb{E}$ .*

*Un ouvert pour cette topologie est appelé  $c^\infty$ -ouvert.*

Autrement dit, la  $c^\infty$ -topologie est la plus fine topologie de  $\mathbb{E}$  pour laquelle toutes les courbes infiniment différentiables demeurent continues. En général, la  $c^\infty$ -topologie est plus fine que toute topologie localement convexe ayant les mêmes ensembles bornés.  $c^\infty\mathbb{E}$  n'est pas en général un espace vectoriel topologique. Si  $\mathbb{E}$  est un espace de Fréchet, alors la  $c^\infty$ -topologie coïncides avant la topologie donnée de l'e.v.t.

Le fait qu'une courbe soit lisse ne dépend pas de la topologie donnée sur  $\mathbb{E}$  puisque toutes les topologies conduisant à un même dual donnent la même famille de courbes lisses. En fait, le fait qu'une courbe soit lisse dépend uniquement de la famille des parties bornées.

---

<sup>3</sup>. ou calcul différentiel convenable selon la terminologie de [Fau11], eng. *convenient differential calculus*

L'idée de J. Boman de tester le fait qu'une application soit lisse *via* des courbes lisses de  $\mathbb{R}$  vers  $\mathbb{R}^n$  (cf. [Bom67]) peut être étendue aux e.v.t.l.c., puisque cette notion dans ce cadre est parfaitement définie.

**DÉFINITION 2.2.** Soient  $\mathbb{E}$  et  $\mathbb{F}$  deux espaces vectoriels topologiques localement convexes. Une application  $f : \mathbb{E} \rightarrow \mathbb{F}$  est dite convenablement lisse si l'image d'une courbe lisse est une courbe lisse, i.e. si  $f \circ c \in C^\infty(\mathbb{R}, \mathbb{F})$  pour toute courbe  $c \in C^\infty(\mathbb{R}, \mathbb{E})$ .

**NOTATION 2.3.** Si  $\mathbb{E}$  est un espace vectoriel adapté, on note

$\mathbb{E}^\sharp$  le dual algébrique ;

$\mathbb{E}^*$  le dual topologique, i.e. l'espace des formes linéaires continues sur  $E$  ;

$\mathbb{E}'$  le dual bornologique, i.e. l'espace des formes linéaires bornées sur  $E$ .

**DÉFINITION 2.4.** Soit  $\mathbb{E}$  un espace adapté. Une courbe  $c : \mathbb{R} \rightarrow \mathbb{E}$  est dite faiblement lisse si pour toute forme linéaire continue  $l$ ,  $l \circ c$  est lisse :

$$\forall l \in E^*, l \circ c \in C^\infty(\mathbb{R}, \mathbb{R}).$$

On peut noter que le lien entre continuité et infinie différentiabilité en dimension infinie n'est pas aussi ténu qu'en dimension finie : **il existe des courbes lisses qui ne sont pas continues pour la topologie donnée de  $\mathbb{E}$ !** Cette situation ne peut être évitée si l'on souhaite que la propriété de dérivation des fonctions composées<sup>4</sup> soit vérifiée : la fonction évaluation  $ev : \mathbb{E} \times \mathbb{E}^* \rightarrow \mathbb{R}$  de  $\mathbb{E}$  est lisse mais n'est continue que si l'espace  $\mathbb{E}$  est normable.

En analyse en dimension finie, la condition de Cauchy est une condition nécessaire de convergence d'une suite pour définir la complétude d'un espace. Dans le cadre adapté, c'est la notion plus faible de suite de Mackey-Cauchy qui est utilisée (cf. [KrMi97], 2) :

**DÉFINITION 2.5.** Une suite  $(x_n)_{n \in \mathbb{N}}$  de  $\mathbb{E}$  est dite de Mackey-Cauchy s'il existe un sous-espace borné absolument convexe  $B$  de  $\mathbb{E}$  tel que  $(x_n)$  est une suite de Cauchy dans l'espace  $\mathbb{E}_B$  :

$$\forall \varepsilon > 0, \exists n_\varepsilon \in \mathbb{N}, \forall n > m > n_\varepsilon, x_m - x_n \in \varepsilon.B.$$

La définition suivante est fondamentale.

**DÉFINITION 2.6.** Un espace vectoriel topologique localement convexe est dit  $c^\infty$ -complet ou adapté si toute suite de Mackey-Cauchy converge ( $c^\infty$ -complétude).

La caractérisation suivante d'un espace adapté est tirée de [KrMi97], Theorem 2.14 :

**PROPOSITION 2.7.** Un espace vectoriel topologique localement convexe  $\mathbb{E}$  est adapté si l'une des conditions équivalentes suivantes est satisfaite :

---

4. eng. chain rule

- (EVA 1) Toute courbe Lipschitzienne de  $\mathbb{E}$  est localement Riemann intégrable.
- (EVA 2) Pour toute courbe  $c \in C^\infty(\mathbb{R}, \mathbb{E})$ , il existe une courbe  $\gamma \in C^\infty(\mathbb{R}, \mathbb{E})$  telle que  $\gamma' = c$ .
- (EVA 3) Toute courbe faiblement lisse est lisse.
- (EVA 4) Si  $B$  est borné, fermé et absolument convexe, l'espace normé associé  $\mathbb{E}_B$  est un espace de Banach.

Une application linéaire entre espaces adaptés est bornée<sup>5</sup> si et seulement si elle est convenablement lisse.

**NOTATION 2.8.** Si  $\mathbb{E}_1$  et  $\mathbb{E}_2$  sont des espaces adaptés, on note

- $L(\mathbb{E}_1, \mathbb{E}_2)$  l'espace des applications linéaires de  $\mathbb{E}_1$  dans  $\mathbb{E}_2$  ;  
 $L(\mathbb{E}_1, \mathbb{E}_2)$  l'espace des applications linéaires bornées de  $\mathbb{E}_1$  dans  $\mathbb{E}_2$ .  
 $\mathcal{L}(\mathbb{E}_1, \mathbb{E}_2)$  l'espace des applications linéaires continues de  $\mathbb{E}_1$  dans  $\mathbb{E}_2$ .

Si  $\mathbb{E}_1 = \mathbb{E}_2 = \mathbb{E}$ , on utilise respectivement les notations  $L(\mathbb{E})$ ,  $\mathcal{L}(\mathbb{E})$  et  $L(\mathbb{E})$ .

**Exemple 2.9.** Espace des suites réelles finies.

La somme directe  $\mathbb{R}^\infty = \bigoplus_{n \in \mathbb{N}^*} \mathbb{R}$ , noté aussi  $\mathbb{R}^{(\mathbb{N}^*)}$ , est l'ensemble de toutes les suites de nombres réels nulles à partir d'un certain rang, espace qui peut être vu comme la réunion  $\bigcup_{n \in \mathbb{N}^*} \mathbb{R}^n$  où chaque  $\mathbb{R}^n$  est identifié à l'hyperplan  $\mathbb{R}^n \times \{0\}$  de  $\mathbb{R}^{n+1}$  via l'inclusion  $\iota_n^{n+1} : \mathbb{R}^n \rightarrow \mathbb{R}^{n+1}$ . L'espace  $\mathbb{R}^\infty$  est muni de la topologie limite directe, i.e. la plus fine topologie pour laquelle les inclusions  $\iota_n : \mathbb{R}^n \rightarrow \mathbb{R}^\infty$  sont continues. Une partie  $U$  de  $\mathbb{R}^\infty$  est ouverte pour cette topologie si et seulement si  $U \cap \mathbb{R}^n$  est ouvert dans  $\mathbb{R}^n$  pour tout  $n \in \mathbb{N}^*$ .

Munie de l'addition et la multiplication scalaire ponctuelles,  $\mathbb{R}^\infty$  est un espace vectoriel localement convexe non métrisable (cf. [Spa14], Exemple 3.10).

Les parties

$$B_0^\infty(\epsilon_n) = \{(x_n)_{n \in \mathbb{N}^*} \in \mathbb{R}^\infty : |x_n| < \epsilon_n\},$$

où  $(\epsilon_n)_{n \in \mathbb{N}^*}$  est une suite de réels strictement positifs constitue une base de voisinages ouverts de 0 ([Jar81], 4.1.4).

$\mathbb{R}^\infty$  est un espace régulier : toute partie borné  $B$  de  $\mathbb{R}^\infty$  est contenue dans un  $\mathbb{R}^n$ .

D'après (EVA 4),  $\mathbb{R}^\infty$  est un espace vectoriel adapté.

$\mathbb{R}^\infty$  est aussi une limite directe stricte de plongements linéaires fermés des espaces de Banach  $\mathbb{R}^n$ .

**THÉORÈME 2.10.** Soit  $U$  un  $c^\infty$ -ouvert d'un espace vectoriel adapté  $\mathbb{E}$  et soient  $\mathbb{F}$  et  $\mathbb{G}$  deux sous-espaces adaptés.

1. L'espace  $C^\infty(U, \mathbb{F})$  peut être muni d'une structure d'espace vectoriel adapté. Le sous-espace  $L(\mathbb{E}, \mathbb{F})$  de toutes les applications bornées de  $\mathbb{E}$  dans  $\mathbb{F}$  est fermé dans  $C^\infty(\mathbb{E}, \mathbb{F})$ .

---

5. Soient  $\mathbb{E}$  et  $\mathbb{F}$  deux espaces vectoriels topologiques. Une application linéaire  $f : \mathbb{E} \rightarrow \mathbb{F}$  est bornée ou bornologique si l'image d'une partie bornée de  $\mathbb{E}$  est une partie bornée de  $\mathbb{F}$ .

2. La catégorie des espaces vectoriels adaptés est cartésienement fermée, i.e. nous avons l'identification naturelle :

$$C^\infty(\mathbb{E} \times \mathbb{F}, \mathbb{G}) \simeq C^\infty(\mathbb{E}, C^\infty(\mathbb{F}, \mathbb{G})).$$

3. L'opérateur différentiel

$$d : C^\infty(\mathbb{E}, \mathbb{F}) \rightarrow C^\infty(\mathbb{E}, L(\mathbb{E}, \mathbb{F}))$$

$$df(x)v = \lim_{t \rightarrow 0} \frac{f(x + tv) - f(x)}{t}$$

existe, est linéaire et lisse.

4. La règle de la dérivation des fonctions composées est valide :

$$d(f \circ g)(x)v = df(g(x)) dg(x)v.$$

Dans ce cadre adapté, les notions de variété, fibré et groupe de Lie se définissent de manière analogue au cadre de Banach (cf. [KrMi97], Chapitres VI et VIII).

Il est important de noter que, dans ce même cadre, toute dérivation de l'algèbre des fonctions de la variété n'est pas nécessairement un champ de vecteurs (cinématique) et que tout champ de vecteurs n'admet pas nécessairement un flot<sup>6</sup> (cf. [KrMi97], 32.12).

### 3 Variétés de Poisson partielles

Les structures de Poisson peuvent être définies à l'aide d'un morphisme antisymétrique  $P$  du fibré cotangent  $T^*M$  dans le fibré tangent  $TM$ . Dans le cadre de structure de Poisson, ce morphisme est associé à un crochet  $\{.,.\}$  sur l'ensemble  $C^\infty(M)$  des fonctions lisses sur la variété, i.e. une application bilinéaire antisymétrique  $C^\infty(M) \times C^\infty(M) \rightarrow C^\infty(M)$  qui satisfait à la fois les identités de Jacobi et de Leibniz.

Dès le cadre d'espaces de Banach non réflexifs, le morphisme  $P$  n'est défini que sur un sous-fibré faible  $T^b M$  de  $T^*M$ , cette situation étant liée, comme introduit par A. Odziejewicz et T. Ratiu dans [OdRa03], à un crochet sur une sous-algèbre de  $C^\infty(M)$ . On est alors en présence de structures de Poisson partielles.

---

6. En fait, au delà du cadre des espaces de Banach, les résultats classiques sur l'existence et l'unicité de solutions d'équations différentielles, obtenus à partir de théorèmes résultant du théorème du point fixe, ne s'appliquent plus nécessairement.

### 3.1 Structures de Poisson linéaires partielles

Soit  $\mathbb{E}$  un espace vectoriel adapté. On note  $\mathbb{E}'$  son dual bornologique et  $\langle \cdot, \cdot \rangle$  le crochet de dualité.

Soit  $\mathbb{E}^b$  un sous-espace vectoriel de  $\mathbb{E}'$  muni de sa propre structure d'espace adapté où l'inclusion  $\mathbb{E}^b \rightarrow \mathbb{E}'$  est bornée. Le crochet de dualité  $\langle \cdot, \cdot \rangle$  entre  $\mathbb{E}'$  et  $\mathbb{E}$  induit alors une forme bilinéaire bornée sur  $\mathbb{E}^b \times \mathbb{E}$  qui est non dégénérée à gauche et qui est encore notée  $\langle \cdot, \cdot \rangle$  si aucune confusion n'est possible.

Un sous-espace  $\mathbb{Y}$  d'un espace vectoriel adapté  $\mathbb{X}$  est dit *fermé* s'il est  $c^\infty$ -fermé au sens de [KrMi97].

Plus généralement, on adopte systématiquement les notations et la terminologie utilisées dans [KrMi97] et rappelées à la section 2.

**DÉFINITION 3.1.** Une structure de Poisson linéaire partielle sur  $\mathbb{E}$  est la donnée de

(SPLp 1) un sous-espace vectoriel  $\mathbb{E}^b$  de  $\mathbb{E}'$  muni de sa propre structure d'espace adapté et tel que l'inclusion de  $\mathbb{E}^b$  dans  $\mathbb{E}'$  est bornée ;

(SPLp 2) une application linéaire bornée  $P : \mathbb{E}^b \rightarrow \mathbb{E}$  telle que

$$\langle \omega_1, P\omega_2 \rangle = - \langle \omega_2, P\omega_1 \rangle$$

pour tous  $\omega_1$  et  $\omega_2$  de  $\mathbb{E}^b$ .

On dit alors que  $(\mathbb{E}^b, \mathbb{E}, P)$  est un espace de Poisson linéaire partiel.

Si  $P$  est un isomorphisme adapté, alors la 2-forme  $\Omega_P \in L^2\mathbb{E}'$  définie par

$$\Omega_P(u, v) = \langle P^{-1}(u), v \rangle$$

est une forme symplectique faible sur  $\mathbb{E}$ .

Quand  $\mathbb{E}^b = \mathbb{E}'$ ,  $\Omega_P$  est une forme symplectique forte.

Si  $\Omega$  est une forme symplectique faible sur  $\mathbb{E}$  et si  $\mathbb{E}^b$  est l'image de l'opérateur linéaire associé  $\Omega^b : \mathbb{E} \rightarrow \mathbb{E}'$  alors  $P = (\Omega^b)^{-1} : \mathbb{E}^b \rightarrow \mathbb{E}$  est une structure de Poisson partielle linéaire qui est aussi un isomorphisme adapté. Ceci justifie la définition suivante :

**DÉFINITION 3.2.** Soit  $P : \mathbb{E}^b \rightarrow \mathbb{E}$  une structure de Poisson linéaire partielle. Si  $P$  est un isomorphisme adapté, on dit que  $P$  est une structure symplectique linéaire partielle sur  $\mathbb{E}$ . Quand  $\mathbb{E}^b = \mathbb{E}'$  on dit simplement que  $P$  est symplectique linéaire.

**REMARQUE 3.3.** Soit  $P : \mathbb{E}^b \rightarrow \mathbb{E}$  une structure de Poisson linéaire partielle telle que  $\ker P$  est scindé et que  $P(\mathbb{E}^b)$  est fermé dans  $\mathbb{E}$ . Ceci implique que  $P$  induit une application linéaire bijective bornée  $\hat{P}$  de  $\mathbb{E}^b / \ker P$  sur  $P(\mathbb{E})$  (cf. [No05]). Mais, dans le contexte adapté,  $\hat{P}$  n'est pas un isomorphisme d'espaces adaptés.

Dans la suite de cette remarque, on suppose que  $\hat{P}$  un isomorphisme d'espaces adaptés. Notons que cette situation se présente si  $\mathbb{E}^b$  ou  $P(\mathbb{E})$  est un



espace de Banach. On a alors une décomposition  $\mathbb{E}^b = \ker P \oplus \mathbb{F}$  et si  $q_{\mathbb{F}}$  est la restriction de la projection associée  $q$  de  $\mathbb{E}^b$  sur  $\mathbb{F}$ , alors  $q_{\mathbb{F}}$  est un isomorphisme de  $\mathbb{F}$  sur  $\mathbb{E}^b / \ker P$  et par suite la restriction  $P_{\mathbb{F}}$  de  $P$  à  $\mathbb{F}$  qui est égale à  $\hat{P} \circ q_{\mathbb{F}}$  est un isomorphisme sur  $P(\mathbb{E})$ . Puisque l'inclusion de  $\mathbb{E}^b$  dans  $\mathbb{E}'$  bornée, il en est de même pour l'inclusion de  $\mathbb{F}$  et le crochet de dualité en restriction à  $\mathbb{F}$  est une forme bilinéaire bornée sur  $\mathbb{F} \times \mathbb{E}$ . Par suite, on obtient une forme bilinéaire bornée sur  $P(\mathbb{E})$  définie par

$$\Omega_P(u, v) = \langle \beta, P_{\mathbb{F}}\alpha \rangle \quad \text{si } P_{\mathbb{F}}(\alpha) = u, P_{\mathbb{F}}(\beta) = v.$$

D'une part,  $\Omega_P$  ne dépend pas du choix de  $\mathbb{F}$ . D'autre part, l'espace vectoriel de Poisson partiel  $(\mathbb{F}, \mathbb{E}, P_{\mathbb{F}})$  donne lieu à la même structure linéaire de Poisson partielle que  $(\mathbb{E}^b, \mathbb{E}, P)$  dans le sens où, pour chaque  $\alpha \in \mathbb{E}^b$  on a  $P(\alpha) = P_{\mathbb{F}}(q_{\mathbb{F}}(\alpha))$  si  $\alpha_{\mathbb{F}} = q_{\mathbb{F}}(\alpha)$ . Mais  $(\mathbb{F}, \mathbb{E}, P_{\mathbb{F}})$  est une structure symplectique partielle telle que  $(\Omega_P)^b = P_{\mathbb{F}}^{-1}$  qui donne lieu à une forme symplectique faible  $\Omega_P$  sur  $P(\mathbb{E})$ .

**DÉFINITION 3.4.** Pour tout sous-espace fermé  $\mathbb{F}$  d'un espace vectoriel adapté  $\mathbb{E}$ , l'annulateur de  $\mathbb{F}$  est le sous espace

$$\mathbb{F}^{\text{ann}} = \{\alpha \in \mathbb{E}' : \forall u \in \mathbb{F}, \langle \alpha, u \rangle = 0\}.$$

**DÉFINITION 3.5.** Soit  $(\mathbb{E}^b, \mathbb{E}, P)$  une structure linéaire partiel.

1. Pour tout sous espace  $\mathbb{A}$  de  $\mathbb{E}^b$ , l'espace vectoriel

$$\mathbb{A}^{\perp P} := \{\omega \in \mathbb{E}^b : \forall \alpha \in \mathbb{A} \quad \langle \omega, P\alpha \rangle = 0\}$$

est appelé orthogonal de  $\mathbb{A}$  relativement à  $P$ .

2. L'espace  $\mathbb{A}$  est dit isotrope si  $\mathbb{A} \subset \mathbb{A}^{\perp P}$ .

**DÉFINITION 3.6.** Soit  $(\mathbb{E}^b, \mathbb{E}, P)$  un espace de Poisson linéaire partiel.

1. Si  $\mathbb{F}$  est un sous espace vectoriel adapté de  $\mathbb{E}$  (i.e. si  $\mathbb{F}$  est fermé), on pose

$$\mathbb{F}^0 := \{\alpha \in \mathbb{E}^b : \forall u \in \mathbb{F}, \langle \alpha, u \rangle = 0\}.$$

L'orthogonal  $\mathbb{F}^{\perp P}$  d'un sous espace adapté  $\mathbb{F}$  de  $\mathbb{E}$  est l'espace vectoriel

$$\mathbb{F}^{\perp P} = P(\mathbb{F}^0).$$

2. Le sous espace  $\mathbb{F}$  est dit co-isotrope si  $\mathbb{F}^0$  est isotrope dans  $\mathbb{E}^b$ .

En utilisant la terminologie classique (cf. [Wei88]), on introduit la notion essentielle de sous espace Lagrangien.

**DÉFINITION 3.7.** Soit  $(\mathbb{E}^b, \mathbb{E}, P)$  un espace symplectique linéaire partiel.

Un sous espace adapté  $\mathbb{F}$  de  $\mathbb{E}$  est dit Lagrangien si  $P(\mathbb{F}^0) = \mathbb{F}$ .

On dit qu'un sous espace Lagrangien  $\mathbb{F}$  est scindé s'il existe un supplémentaire Lagrangien de  $\mathbb{F}$  dans  $\mathbb{E}$ .

Notons que dans le cas d'une structure symplectique linéaire partielle, tout sous espace Lagrangien est aussi co-isotrope. Cependant, en général, un sous espace Lagrangien n'admet pas nécessairement de supplémentaire.

**DÉFINITION 3.8.** Soient  $(\mathbb{E}_1^b, \mathbb{E}_1, \mathbb{P}_1)$  et  $(\mathbb{E}_2^b, \mathbb{E}_2, \mathbb{P}_2)$  deux espaces de Poisson linéaires partiels.

Une application linéaire bornée  $\Phi : \mathbb{E}_1 \rightarrow \mathbb{E}_2$  est appelée morphisme de Poisson (linéaire) si l'adjoint  $\Phi^*$  de  $\Phi$  vérifie

$$\begin{aligned} \text{(PMorphL 1)} \quad & \Phi^*(\mathbb{E}_2^b) \subset \mathbb{E}_1^b \\ \text{(PMorphL 2)} \quad & \mathbb{P}_2 = \Phi \circ \mathbb{P}_1 \circ \Phi^*. \end{aligned}$$

De plus, si chaque  $\mathbb{P}_i$  ( $i \in \{1, 2\}$ ) est symplectique partiel et un morphisme de Poisson (linéaire),  $\Phi$  est alors appelé morphisme symplectique partiel (linéaire).

Nous introduisons la notion de polarisation d'un espace de Poisson linéaire (cf. [AmAw04]) :

**DÉFINITION 3.9.** On appelle polarisation d'un espace de Poisson linéaire partiel  $(\mathbb{E}^b, \mathbb{E}, \mathbb{P})$  la donnée d'un sous espace  $\mathbb{E}^\tau$  fermé de  $\mathbb{E}^b$  tel que  $\mathbb{P}(\mathbb{E}^\tau \cap \mathbb{E}^b)$  est Lagrangien dans  $\mathbb{P}(\mathbb{E}^b)$ .

Notons que si  $\mathbb{E}^\tau$  est une polarisation de  $(\mathbb{E}^b, \mathbb{E}, \mathbb{P})$  alors  $\ker \mathbb{P}$  est contenu dans  $\mathbb{E}^\tau$ .

Soient  $(\mathbb{E}, \mathbb{E}^b, \mathbb{P})$  une structure symplectique partielle et  $\Omega$  la forme symplectique associée. S'il existe un espace Lagrangien  $\mathbb{L}$  de  $\Omega$  alors  $\mathbb{E}^\tau = \Omega^\sharp(\mathbb{L})$  est une polarisation de l'espace linéaire de Poisson partiel  $(\mathbb{E}, \mathbb{E}^b, \mathbb{P})$ . Cette situation se produit toujours si  $\mathbb{E}$  est hilbertizable.

Plus généralement, si  $\mathbb{P} : \mathbb{E}^b \rightarrow \mathbb{E}$  est une structure de Poisson linéaire partielle telle que  $\ker \mathbb{P}$  est scindé et que  $\mathbb{P}(\mathbb{E}^b)$  est fermé dans  $\mathbb{E}$  alors avec les hypothèses et notations de la Remarque 3.3, l'espace  $\mathbb{P}(E)$  peut être muni d'une forme symplectique  $\Omega_{\mathbb{P}}$ . Supposons qu'il existe un espace Lagrangien  $\mathbb{L}$  pour  $\Omega_{\mathbb{P}}$  alors  $\mathbb{E}^\tau = \mathbb{P}^{-1}(\mathbb{L})$  est une polarisation de  $(\mathbb{E}, \mathbb{E}^b, \mathbb{P})$ .

## 3.2 Variétés de Poisson partielles

Soit  $M$  une variété adaptée modelée sur l'espace vectoriel adapté  $\mathbb{M}$ . On note :  $p_M : TM \rightarrow M$  son fibré tangent cinématique ([KrMi97], 28.12) et  $p'_M : T'M \rightarrow M$  son fibré cotangent cinématique ([KrMi97], 33.1).

### 3.2.1 L'algèbre $\mathfrak{A}(U)$

**DÉFINITION 3.10.** Un sous-fibré  $p^b : T^b M \rightarrow M$  de  $p'_M : T'M \rightarrow M$  où  $p^b : T^b M \rightarrow M$  est un fibré adapté, est un sous-fibré faible de  $p'_M : T'M \rightarrow M$  si l'injection canonique  $\iota : T^b M \rightarrow T'M$  est un morphisme de fibrés adaptés.

En se référant à [KrMi97], Définition 48.5, on introduit l'ensemble suivant.

**DÉFINITION 3.11.** Pour tout ouvert  $U$  de  $M$ , on considère l'ensemble  $\mathfrak{A}(U)$  des fonctions  $f \in C^\infty(U)$  telle que, pour tout entier naturel non nul  $k$  et tout  $x$  de  $U$ , la dérivée d'ordre  $k$  de  $f$  en  $x$ ,  $d^k f(x) \in L_{\text{sym}}^k(T_x M, \mathbb{R})$  vérifie :

$$\forall (u_2, \dots, u_k) \in (T_x M)^{k-1}, d_x^k f(\cdot, u_2, \dots, u_k) \in T_x^b M. \quad (3.1)$$

**REMARQUE 3.12.** Soit  $f \in \mathfrak{A}(U)$ , alors pour tout entier naturel  $k$ , tout  $x \in U$  et tout  $(k-1)$ -uplet  $(u_2, \dots, u_k)$  de  $T_x M$ , si  $A$  est un endomorphisme de  $T_x M$  alors l'application linéaire  $u \mapsto d_x^k f(A(u), u_2, \dots, u_k)$  appartient à  $T_x^b M$ .

**PROPOSITION 3.13.** Soit un ouvert donné  $U$  de  $M$ .

1. L'ensemble  $\mathfrak{A}(U)$  est une sous-algèbre  $C^\infty(U)$ .
2. Pour tout entier naturel  $k$  et tous champs de vecteurs locaux  $X_1, \dots, X_k$  au-dessus de  $U$ , l'application  $x \mapsto d^k f(X_1, \dots, X_k)(x)$  appartient à  $\mathfrak{A}(U)$ .

*Démonstration.* 1.  $\mathfrak{A}(U)$  est trivialement un sous-espace vectoriel réel de  $C^\infty(U)$  (pour l'addition et la multiplication externe).

Il reste à établir que si  $f$  et  $g$  sont deux éléments de  $\mathfrak{A}(U)$ , leur produit  $fg$  appartient aussi à  $\mathfrak{A}(U)$ . Fixons de tels éléments  $f$  de  $g$  dans  $\mathfrak{A}(U)$ . Puisque  $df$  et  $dg$  sont des sections de  $T^b M$  au-dessus de  $U$ , il s'ensuit que  $d_x(fg)$  appartient aussi à  $T_x^b M$  et ceci pour tout  $x \in U$ . Plus généralement, pour tout entier naturel  $k$ , tout  $x \in U$  et tout  $(k-1)$ -uplet  $u_2, \dots, u_k$  de  $T_x M$ , on a pour les dérivées d'ordre  $k$ , des expressions du type

$$\begin{aligned} & d_x^k(fg)(\cdot, u_2, \dots, u_k) \\ = & \sum_{l=1}^k \left( \sum_{\sigma} \binom{k}{\sigma} (d_x^l f(u_{\sigma_1}, \dots, u_{\sigma_l}) d_x^{k-l} g(\cdot, u_{\sigma_{l+1}}, \dots, u_{\sigma_{k-1}}) \right. \\ & \left. + d_x^l g(u_{\sigma_1}, \dots, u_{\sigma_l}) d_x^{k-l} f(\cdot, u_{\sigma_{l+1}}, \dots, u_{\sigma_{k-1}}) \right). \end{aligned}$$

Puisque  $f$  et  $g$  appartiennent tous deux à  $\mathfrak{A}(U)$ , on en déduit que le second membre est une section de  $T_x^b M$  au-dessus de  $U$ . On obtient bien une structure de sous-algèbre de  $C^\infty(U)$ .

2. Considérons le domaine  $U$  d'une carte locale  $(U, \phi)$  autour de  $x$  au-dessus de laquelle le fibré vectoriel  $T^b M$  est trivialisable; l'inclusion  $T^b M \rightarrow T' M$  correspond alors à l'inclusion de  $U \times \mathbb{M}^b$  dans  $U \times \mathbb{M}'$ .

Fixons alors  $k$  champs de vecteurs  $X_1, \dots, X_k$  sur  $U$ ; chacun de ces champs peut être vu comme une application linéaire de  $\mathbb{M}$  dans  $\mathbb{M}$ .

On pose  $\varphi = d^k f(X_1, \dots, X_k)$ .

La différentielle  $d_x^l \varphi(u_1, \dots, u_l)$  est une somme de termes de la forme

$$d_x^{k+h} f(u^{\sigma^0}, X_1^{h_1}(u^{\sigma^1}), \dots, X_j^{h_j}(u^{\sigma^j}), \dots, X_k^{h_k}(u^{\sigma^k})) \quad (3.2)$$

avec les définitions et contraintes suivantes

- $h_0 + h_1 + \dots + h_k = k + h$  où  $h \in \{0, \dots, l - k\}$ ;
- pour  $j \in \{0, \dots, k\}$ ,

- si  $h_j = 0$  alors  $\sigma^j$  est l'ensemble vide,
- si  $h_j > 0$  alors  $\sigma^j$  est une suite strictement croissante  $\sigma^j = (\sigma_1^j, \dots, \sigma_{h_j}^j)$  et  $u^{\sigma^j} = (u_{\sigma_1^j}, \dots, u_{\sigma_{h_j}^j})$ ;
- pour  $j \in \{1, \dots, k\}$ ,
  - si  $h_j = 0$  alors  $X_j^0(u^{\sigma^j}) = X_j(x)$  (i.e.  $\sigma^j$  est l'ensemble vide),
  - si  $h_j > 0$  alors  $X_j^{h_j}(u^{\sigma^j}) = T_x^{h_j} X_j(u_{\sigma_1^j}, \dots, u_{\sigma_{h_j}^j})$ ;
- $\{\{\sigma_1^j, \dots, \sigma_{h_j}^j\}, j \in \{0, \dots, k\}, \sigma^j \neq \emptyset\}$  est une partition de  $\{1, \dots, l\}$ .

Remarquons que eu égard aux conditions précédentes, un terme du type (3.2) est uniquement déterminé par la partition  $\{\{\sigma_1^j, \dots, \sigma_{h_j}^j\}, j \in \{0, \dots, k\}, \sigma^j \neq \emptyset\}$  et  $d_x^l \varphi(u_1, \dots, u_l)$  est la somme de termes du type (3.2) pour toutes ces partitions. Si on supprime maintenant  $u_1$  dans  $d_x^l \varphi(u_1, \dots, u_l)$  alors chaque terme du type (3.2) donne naissance à un et un seul terme dans les situations suivantes :

(i) il existe  $i \in \{1, \dots, h_0\}$  où  $\sigma_i^0 = 1$ . Ainsi dans tous les autres termes associés à une telle partition, après avoir supprimé  $u_1$ , on obtient un terme du type

$$d_x^{k+h} f(u_{\sigma_1^0}, \dots, \widehat{u_{\sigma_i^0}}, \dots, u_{\sigma_{h_0}^0}, X_1^{h_1}(u^{\sigma^1}), \dots, X_j^{h_j}(u^{\sigma^j}), \dots, X_k^{h_k}(u^{\sigma^k}))$$

qui appartient bien à  $T_x^b M$ , d'après la caractérisation de  $\mathfrak{A}(U)$  et la symétrie de  $d_x f^{k+l}$ ;

(ii) il existe  $j \in \{1, \dots, k\}$  tel que  $\sigma_i^j = 1$ . Après avoir supprimé  $u_1$  dans  $X_j^{\sigma^j}(u^{\sigma^j})$ , on obtient  $T_x^{h_j} X_j(u_{\sigma_1^j}, \dots, \widehat{u_{\sigma_i^j}}, \dots, u_{\sigma_{h_j}^j})$  qui définit un endomorphisme de  $T_x M$  et tous les autres termes  $X_i^{h_i}(u^{\sigma^i})$ , pour  $i \neq j$  appartiennent à  $T_x M$ . En utilisant à nouveau les arguments de (i) et la Remarque 3.12, dans tous les termes associés à une telle partition, la valeur de

$$d_x^{k+h} f(u^{\sigma^0}, X_1^{h_1}(u^{\sigma^1}), \dots, X_j^{h_j}(u^{\sigma^j}), \dots, X_k^{h_k}(u^{\sigma^k}))$$

après suppression des termes  $u_{\sigma_i^j}$ , appartient à  $T_x^b M$ .

Ceci entraîne que  $d_x \varphi(\cdot, u_2, \dots, u_l)$  appartient à  $T_x^b M$  pour tout  $(l-1)$ -uplet  $(u_2, \dots, u_l)$  d'éléments de  $T_x M$ .

Puisque  $d_x^l \varphi(u_1, u_2, \dots, u_l)$  est symétrique en  $(u_1, \dots, u_l)$ , on obtient

$$\forall i \in \{1, \dots, l\}, d_x^l \varphi(u_1, \dots, \widehat{u_i}, \dots, u_l) \in T_x^b M.$$

Puisque  $d_x^{k+l} f$  et  $T_x^{h_j} X_j$  pour  $j \in \{1, \dots, k\}$ , sont des applications symétriques bornées, il s'ensuit que  $d_x^l \varphi$  est aussi une application symétrique bornée.

Finalement, un tel résultat est vrai pour tous entiers naturels  $k$  et  $l$ , tout  $x \in U$  et tout  $k$ -uplet  $(X_1, \dots, X_k)$  de champs de vecteurs sur  $U$ .  $\square$

### 3.2.2 Structures de Poisson partielles

On notera  $\langle \cdot, \cdot \rangle$  le crochet de dualité canonique entre les fibrés  $T'M$  et  $TM$ .

**DÉFINITION 3.14.** *Un morphisme  $P : T^b M \rightarrow TM$  est dit antisymétrique s'il vérifie, pour tous  $\xi$  et  $\eta$  de  $T_x^b M$ , la relation*

$$\langle \xi, P(\eta) \rangle = - \langle \eta, P(\xi) \rangle. \quad (3.3)$$

On dit alors que  $P$  est une presque ancre de Poisson.

Étant donné un tel morphisme  $P$ , on définit sur  $\mathfrak{A}(U)$  le crochet  $\{.,.\}_P$  par :

$$\{f, g\}_P = - \langle df, P(dg) \rangle. \quad (3.4)$$

Dans ces conditions, la relation (3.4) définit une application bilinéaire antisymétrique  $\{.,.\}_P : \mathfrak{A}(U) \times \mathfrak{A}(U) \rightarrow C^\infty(U)$ .

**PROPOSITION 3.15.** *Le crochet  $\{.,.\}_P$  est à valeurs dans  $\mathfrak{A}(U)$  et vérifie la propriété de Leibniz :*

$$\{f, gh\}_P = g\{f, h\}_P + h\{f, g\}_P$$

*Démonstration.* Puisque, pour tous  $f$  et  $g$  de  $\mathfrak{A}(U)$ , on a

$$\{f, g\}_P = -df(P(dg))$$

d'après la Proposition 3.13, 2., il s'ensuit que  $df(P(dg))$  appartient à  $\mathfrak{A}(U)$ . Finalement, d'après la définition du crochet, on a

$$\begin{aligned} \{f, gh\}_P &= - \langle df, Pd(gh) \rangle \\ &= -g \langle df, P(dh) \rangle - h \langle df, P(dg) \rangle \\ &= g\{f, h\}_P + h\{f, g\}_P \end{aligned}$$

ce qui établit la propriété de Leibniz.  $\square$

En se référant à [KrMi97], 29.5, on peut associer à deux fibrés vectoriels adaptés  $p_E : E \rightarrow M$  et  $p_F : F \rightarrow M$  d'autres fibrés vectoriels adaptés sur cette même base  $M$ , e.g.  $E \oplus M$  and  $L(E, F)$ .

D'autre part, si  $\pi : E \rightarrow M$  est un fibré vectoriel adapté, on peut munir l'ensemble  $\Gamma(E)$  des sections lisses de ce fibré d'une structure d'espace vectoriel adapté (cf. [KrMi97], 30).

**NOTATION 3.16.** *A toute presque-ancre de Poisson  $P : T^b M \rightarrow TM$ , on associe*

$$\underline{P} : \Gamma(T^b M) \rightarrow \mathfrak{X}(M)$$

ainsi que

$$\begin{aligned} \tilde{P} : T^b M \times_M T^b M &\rightarrow \mathbb{R} \\ (\alpha, \beta) &\mapsto \langle \beta, P\alpha \rangle \end{aligned}$$

et aussi le tenseur antisymétrique de type  $(2,0)$  (i.e. 2-fois contravariant)

$$\tilde{\underline{P}} : \Gamma(T^b M \times_M T^b M) \rightarrow C^\infty(M)$$

défini pour toutes sections  $\eta$  et  $\xi$  de  $T^b M$  et pour tout  $x$  de  $M$  par

$$\left(\tilde{\underline{P}}(\eta, \xi)\right)(x) = \langle \xi(x), P_x(\eta(x)) \rangle$$

On pourra s'autoriser quelques abus de notation en écrivant  $P$  en lieu et place de  $\underline{P}$ ,  $\tilde{P}$  ou  $\tilde{\underline{P}}$  lorsqu'il n'y a pas d'ambiguïté compte tenu du contexte.

**DÉFINITION 3.17.** Soit  $p^b : T^b M \rightarrow M$  un sous-fibré faible de  $p'_M : T^b M \rightarrow M$  et  $P : T^b M \rightarrow TM$  une quasi-ancre de Poisson.

1. On dit que  $(T^b M, M, P, \{.,.\}_P)$  est une structure de Poisson partielle sur  $M$  si le crochet  $\{.,.\}_P$  vérifie l'identité de Jacobi

$$\{f, \{g, h\}_P\}_P + \{g, \{h, f\}_P\}_P + \{h, \{f, g\}_P\}_P = 0.$$

Dans ce cas,  $P$  est appelée ancre de Poisson partielle.

2. Soit  $\mathfrak{A}$  une sous-algèbre de  $\mathfrak{A}(M)$  telle que la restriction de  $\{.,.\}_P$  à  $\mathfrak{A} \times \mathfrak{A}$  est à valeurs dans  $\mathfrak{A}$ . On dit que  $(M, \mathfrak{A}, \{.,.\}_P)$  est une variété de Poisson partielle. Si, de plus,  $P$  est un isomorphisme, on dit que  $(M, \mathfrak{A}, \{.,.\}_P)$  est une variété de symplectique partielle.

On peut noter en particulier que si  $(T^b M, M, P, \{.,.\}_P)$  est une structure de Poisson partielle, alors  $(M, \mathfrak{A}(M), \{.,.\}_P)$  est toujours une variété de Poisson partielle.

**NOTATION 3.18.**  $\mathfrak{P}_M$  désigne le faisceau des  $\mathfrak{A}(U)$ -modules engendré par l'ensemble  $\{df, f \in \mathfrak{A}(U)\}$ .

Soit  $(T^b M, P, \{.,.\}_P)$  une structure de Poisson partielle. Comme en dimension finie, on a associé au morphisme  $P$  un tenseur antisymétrique  $\tilde{\underline{P}}$  de type  $(2,0)$  sur  $T^b M$  (cf. Notation 3.16). On a alors pour toutes sections  $\eta$  et  $\xi$  de  $T^b M$  et pour tout  $x$  de  $M$  par

$$\left(\tilde{\underline{P}}(\eta, \xi)\right)(x) = \langle \xi(x), P_x(\eta(x)) \rangle. \quad (3.5)$$

Sur tout ouvert  $U$  de  $M$  et tous éléments  $\sigma_1$  et  $\sigma_2$  de  $\mathfrak{P}(U)$ , l'application  $[\underline{P}, \underline{P}] : \mathfrak{P}(U) \times \mathfrak{P}(U) \rightarrow \mathfrak{X}(U)$

$$[\underline{P}, \underline{P}](\sigma_1, \sigma_2) = \underline{P}([\sigma_1, \sigma_2]_P) - [\underline{P}\sigma_1, \underline{P}\sigma_2] \quad (3.6)$$

est parfaitement définie ; elle est bilinéaire et sa valeur en  $T^b_x M$  dépend uniquement des valeurs de  $\sigma_1$  et  $\sigma_2$  en  $x$ . Ainsi  $[\underline{P}, \underline{P}]$  est un tenseur de type  $(2,1)$  à valeurs dans  $\mathfrak{X}(M)$ .

On peut alors considérer le tenseur noté  $[\tilde{\underline{P}}, \tilde{\underline{P}}]$  de type  $(3, 0)$  sur  $T^b M$  défini, pour tout triplet  $(\sigma_1, \sigma_2, \sigma_3)$  d'éléments de  $\mathfrak{P}(U)$ , par :

$$[\tilde{\underline{P}}, \tilde{\underline{P}}](\sigma_1, \sigma_2, \sigma_3) = \langle \sigma_3, [\underline{P}, \underline{P}](\sigma_2, \sigma_1) \rangle. \quad (3.7)$$

En adaptant les résultats de [MaMo84], Appendix B.1 à notre contexte (cf. [CaPe1], Chapter 7, Lemme 7.27), on a les propriétés suivantes :

1. pour tout triplet  $(\sigma_1, \sigma_2, \sigma_3)$  d'éléments de  $\mathfrak{P}(U)$ ,

$$[\tilde{\underline{P}}, \tilde{\underline{P}}](\sigma_1, \sigma_2, \sigma_3) = \langle L_{\underline{P}\sigma_1}\sigma_2, \underline{P}\sigma_3 \rangle + \langle L_{\underline{P}\sigma_2}\sigma_3, \underline{P}\sigma_1 \rangle + \langle L_{\underline{P}\sigma_3}\sigma_1, \underline{P}\sigma_2 \rangle$$

2. Si  $\sigma_i = df_i$  où  $f_i \in \mathfrak{A}(U)$ ,  $i \in \{1, 2, 3\}$ ,

$$[\tilde{\underline{P}}, \tilde{\underline{P}}](df_1, df_2, df_3) = \{f_1, \{f_2, f_3\}_P\}_P + \{f_2, \{f_3, f_1\}_P\}_P + \{f_3, \{f_1, f_2\}_P\}_P. \quad (3.8)$$

Le tenseur  $2[\tilde{\underline{P}}, \tilde{\underline{P}}]$  est appelé *crochet de Schouten* de  $\tilde{\underline{P}}$  (cf. [CaPe1], Chapter 7, Définitions 7.28 et 7.50).

On a alors le résultat suivant correspondant à [CaPe1], Chapter 7, Théorème 7.29 :

**THÉORÈME 3.19.** *Soit  $P : T^b M \rightarrow TM$  une quasi-ancre de Poisson et  $\tilde{\underline{P}}$  le tenseur antisymétrique associé.*

*$P$  définit une structure de Poisson partielle sur  $M$  si et seulement si le crochet de Schouten de  $\tilde{\underline{P}}$  est identiquement nul.*

De manière classique, si l'on se donne une variété de Poisson partielle  $(M, \mathfrak{A}, \{., .\}_P)$ , toute fonction  $f$  de  $\mathfrak{A}$  est appelée *Hamiltonien* et le champ de vecteurs associé  $X_f = P(df)$  est appelé *champ de vecteurs Hamiltonien*.

On a alors  $\{f, g\} = X_f(g)$  ainsi que

$$[X_f, X_g] = X_{\{f, g\}} \quad (3.9)$$

d'après [NST14], ce qui est équivalent à

$$P(d\{f, g\}) = [P(df), P(dg)]. \quad (3.10)$$

### 3.2.3 Morphismes et applications de Poisson

**DÉFINITION 3.20.** *Soient deux structures de Poisson partielles  $(T^b M_i, TM_i, P_i, \{., .\}_{P_i})$  pour  $i \in \{1, 2\}$  Une application lisse  $\phi : M_1 \rightarrow M_2$  est appelée morphisme de Poisson si, pour tout  $x$  de  $M_1$ , on a :*

$$\text{(PMorph 1)} \quad (T_{\phi(x)}\phi)^* (T_{\phi(x)}^b M_1) \subset T_x^b M_1$$

où  $(T_{\phi(x)}\phi)^*$  désigne l'adjoint de l'application tangente  $T_x\phi$  ;

$$\text{(PMorph 2)} \quad T_x\phi : T_x M_1 \rightarrow T_{\phi(x)} M_2 \text{ est un morphisme de Poisson (liénaire) de } (T_x^b M_1, T_x M_1, (P_1)_x) \text{ dans } (T_{\phi(x)} M_2, T_{\phi(x)} M_2, (P_2)_{\phi(x)}).$$

Notons que l'application tangente  $T_x\phi : T_xM_1 \rightarrow T_{\phi(x)}M_2$  est un morphisme de Poisson (linéaire) signifie précisément que, pour tout  $x$  de  $M_1$ , on retrouve la relation (**PMorphL 2**) adapté à notre contexte

$$(P_2)_{\phi(x)} = T_x\phi \circ (P_1)_x \circ (T_x\phi)^*. \quad (3.11)$$

**DÉFINITION 3.21.** Pour  $i \in \{1, 2\}$ , soit  $\{(\mathcal{E}_i(U_i), \{, \}_{U_i})\}$ , pour tout ouvert  $U_i$  de  $M_i$  un faisceau d'algèbres de Lie-Poisson sur  $M_i$ .

Une application  $\phi : M_1 \rightarrow M_2$  est une application de Poisson si, pour tout ouvert  $U_i$  de  $M_i$  tel que  $\phi(U_1) \subset U_2$ , l'application induite  $\phi^* : \mathcal{C}^\infty(U_2) \rightarrow \mathcal{C}^\infty(U_1)$ , définie par  $\phi^*(f) := f \circ \phi$ , est telle que

$$\begin{aligned} \text{(PApp 1)} \quad & \phi^*(\mathcal{E}(U_2)) \subset \mathcal{E}(U_1) \\ \text{(PApp 2)} \quad & \forall (f, g) \in \mathcal{E}_2(U_2)^2, \{\phi^*(f), \phi^*(g)\}_{P_1} = \phi^*(\{f, g\}_{P_2}). \end{aligned}$$

On obtient alors le résultat suivant établi dans le chapitre 7 de [CaPe1] :

**THÉORÈME 3.22.** Soient deux structures de Poisson partielles  $(T^bM_i, TM_i, P_i, \{, \}_{P_i})$ , pour  $i \in \{1, 2\}$ , telles que  $T^bM_i$  est fermé dans  $T'M_i$  et soit  $\phi : M_1 \rightarrow M_2$  une application lisse.

1. Si  $\phi$  est un morphisme de Poisson, alors  $\phi$  est aussi une application de Poisson.
2. Supposons que l'on ait

$$\forall y \in \phi(M_1), (T_yM_2)^{\text{ann}} \cap T_y^bM_2 = \{0\}$$

où  $(T_yM_2)^{\text{ann}}$  est l'annulateur de  $T_yM_2$ .

Si  $\phi$  est une application de Poisson, alors  $\phi$  est aussi un morphisme de Poisson.

### 3.2.4 Exemples de variétés de Poisson partielles

**Exemple 3.23.** Variété de Poisson de dimension finie.

Une variété de Poisson de dimension finie  $(M, \mathcal{C}^\infty(M), \{.,.\})$  (cf. [Mar183]) est un cas particulier de variété de Poisson partielle. En effet, à chaque fonction  $f$  sur  $M$  est associé un champ de vecteurs Hamiltonien  $X_f$ . Puisque  $T^bM = T^*M$  est localement engendré par les différentielles de fonctions, on peut étendre l'application  $df \mapsto X_f$  à un unique morphisme de fibrés antisymétrique  $P : T^*M \rightarrow TM$  tel que  $P(df) = X_f$ .

**Exemple 3.24.** Variétés de Banach-Poisson.

Soit  $M$  une variété de Banach. La notion de variété de Banach-Poisson a été définie et développée dans les articles [OdRa03] et [Rat11] où ces auteurs supposent qu'il existe un crochet de Poisson  $\{.,.\}$  sur  $\mathcal{C}^\infty(M)$  tel qu'à chaque fonctionnelle linéaire  $\xi$  sur  $M$  est associée une section  $\xi'$  du bidual  $T''M$  qui appartient en fait à  $TM \subset T''M$ . Ceci génère un morphisme antisymétrique  $P : T'M \rightarrow TM$ . Réciproquement, si l'on se donne un tel morphisme, on obtient un crochet  $\{.,.\}$  sur  $\mathcal{C}^\infty(M)$  comme donné par la relation (3.4). Ainsi, si ce crochet satisfait l'identité de Jacobi, on obtient la notion de variété de Banach-Lie Poisson (cf. [Pel12]).  $M$  est alors munie d'une structure de Poisson partielle.



**Exemple 3.25.** Variétés de Banach symplectiques faibles. Une variété symplectique faible est une variété adaptée  $M$  munie d'une 2-forme fermée  $\omega$  telle que le morphisme associé

$$\begin{aligned} \omega^\flat : TM &\rightarrow T'M \\ X &\mapsto \omega(X, \cdot). \end{aligned}$$

**Exemple 3.26.** La variété symplectique faible  $(l^\infty \times l^1, \omega)$ .

Cet exemple s'inscrit dans le cadre des variétés de Banach faiblement symplectiques comme définies dans l'exemple 3.25 emprunté à [OdRa08a].

Puisque l'application  $\omega_x^\flat$  est seulement injective, le crochet de Poisson  $\{f, g\}$  ne peut pas être défini pour tout couple  $(f, g)$  d'éléments de  $C^\infty(M)$ . Afin de pouvoir définir le champ de vecteurs Hamiltonien associé à une fonction  $f$  par  $\iota_{X_f}\omega = df$ , il est nécessaire que pour chaque  $x$  de  $M$ ,  $df(x)$  appartienne à  $\omega^\flat(T_xM)$ .

$$\mathfrak{A} = \left\{ f \in C^\infty(M) : \forall x \in M, df(x) \in \omega^\flat(T_xM) \right\}$$

est alors une algèbre.

Si  $(f, g) \in \mathfrak{A}^2$ , les champs de vecteurs Hamiltoniens  $X_f$  et  $X_g$  existent et l'on peut alors définir un crochet de Poisson par

$$\{f, g\}_\omega = \omega(X_f, X_g).$$

$\mathfrak{A}$  est alors une algèbre de Poisson, i.e. une algèbre relativement à la multiplication des fonctions et une algèbre de Lie relativement au crochet de Poisson, crochet vérifiant l'identité de Leibniz.

On considère l'espace de Banach  $\ell^\infty \times \ell^1$  où

$$\ell^\infty = \left\{ \mathbf{q} = (q_n)_{n \in \mathbb{N}} : \|\mathbf{q}\|_\infty = \sup_{n \in \mathbb{N}} |q_n| < +\infty \right\}$$

est l'espace de Banach des suites réelles bornées et où

$$\ell^1 = \left\{ \mathbf{p} = (p_n)_{n \in \mathbb{N}} : \|\mathbf{p}\|_1 = \sum_{n=0}^{+\infty} |p_n| < +\infty \right\}$$

est l'espace de Banach des suites réelles absolument convergentes.

Le crochet de dualité fortement non dégénéré

$$\forall (\mathbf{q}, \mathbf{p}) \in \ell^\infty \times \ell^1, \langle \mathbf{q}, \mathbf{p} \rangle = \sum_{n=0}^{+\infty} q_n p_n$$

correspond à l'isomorphisme d'espaces de Banach  $(\ell^1)^* = \ell^\infty$ .

La forme symplectique faible  $\omega$  est la forme canonique donnée par

$$\forall (\mathbf{q}, \mathbf{q}', \mathbf{p}, \mathbf{p}') \in (\ell^\infty)^2 \times (\ell^1)^2, \omega((\mathbf{q}, \mathbf{p}), (\mathbf{q}', \mathbf{p}')) = \langle \mathbf{q}, \mathbf{p}' \rangle - \langle \mathbf{q}', \mathbf{p} \rangle$$

On a alors

$$\mathfrak{A} = \left\{ f \in C^\infty(\ell^\infty \times \ell^1) : \left( \frac{\partial f}{\partial q_n} \right)_{n \in \mathbb{N}} \in \ell^1 \right\}$$

et le crochet de Poisson est donné par

$$\{f, g\}_\omega = \sum_{n=0}^{+\infty} \left( \frac{\partial f}{\partial q_k} \frac{\partial g}{\partial p_k} - \frac{\partial g}{\partial q_k} \frac{\partial f}{\partial p_k} \right).$$

Ce crochet vérifie bien l'identité de Leibniz et est associé à un tenseur 2 fois contravariant antisymétrique.

**Exemple 3.27.** Algébroïde de Banach Lie et structure de Poisson partielle.

Un algébroïde de Banach-Lie est un fibré vectoriel de Banach  $\pi : E \rightarrow M$  muni d'un morphisme  $\rho : E \rightarrow TM$ , appelé ancre, et d'un crochet de Lie  $[\cdot, \cdot]_E$  qui est une application bilinéaire antisymétrique  $\Gamma(E) \times \Gamma(E) \rightarrow \Gamma(E)$  telle que

$$[X, fY]_E = df(\rho(X))Y + f[X, Y]_E$$

où  $\Gamma(E)$  désigne l'ensemble des sections de  $\pi : E \rightarrow M$  qui satisfont l'identité de Jacobi (cf. [Ana11] et [CaPe12]).

Si l'on note  $\pi^* : E^* \rightarrow M$  le fibré dual du fibré  $\pi : E \rightarrow M$ , il existe un sous-fibré de Banach  $T^b E^*$  de  $T^* E^*$  défini comme suit.

Pour toute section (locale)  $s : U \rightarrow E|_U$ , on note  $\Phi_s$  l'application linéaire sur  $E^*|_U$  définie par

$$\Phi_x(\xi) = \langle \xi, s \circ \pi'(\xi) \rangle$$

Ainsi, pour tout  $\sigma \in E^*$ ,  $T_\sigma^b E^*$  est engendré par l'ensemble

$$\{d(\Phi_s + f \circ \pi^*), s \in \Gamma(E|_U), f \in C^\infty(U), U \text{ voisinage ouvert de } \pi^*(\xi)\}.$$

Pour chaque ouvert  $U$  de  $M$ , l'algèbre  $\mathfrak{A}(E^*|_U)$  est aussi l'algèbre des fonctions lisses  $f : E^*|_U \rightarrow \mathbb{R}$  dont la différentielle induit une section de  $E^*|_U$ . Soit  $\mathfrak{A}_L(E^*|_U)$  l'ensemble des fonctions lisses  $f : E^*|_U := E^* \rightarrow \mathbb{R}$  dont la restriction à chaque fibre est linéaire. Il apparaît clairement que  $\mathfrak{A}_L(E^*|_U)$  est un sous espace vectoriel de  $\mathfrak{A}(E^*|_U)$ .

Par ailleurs, il existe un morphisme  $P : T^b E^* \rightarrow T E^*$  défini de la manière suivante :

pour tout  $(\eta, \mathbf{w}) \in T_\sigma^b E^*$ , il existe un germe en  $x$  de fonction  $f$  sur  $M$  et un germe en  $x$  de section  $s$  de  $E$  tels que (en coordonnées locales)

$$\begin{cases} \eta = d_\sigma(f \circ \pi') + \frac{\partial \Phi_s}{\partial x}(\sigma) \\ \mathbf{w} = d_\sigma \Phi_s|_{V_\sigma E^*} \equiv s(\pi^*(\sigma)) \end{cases}.$$

où  $V_\sigma E^*$  est le fibré vertical de  $T_\sigma^* E^*$  et où  $\Phi_s(\sigma) = \langle \sigma, s \rangle$  et  $d_\sigma \Phi_s|_{V_\sigma E^*}$  s'identifie à  $s \circ \pi^*$ .

Dans ces conditions, en coordonnées locales si  $\sigma = (x, \xi)$ , le crochet de Lie s'écrit (cf. [CaPe12])

$$[s, s']_E(x) = ds'(\rho_x(s) - ds(\rho_x(s'))) + C_x(s, s')$$

et on a (cf. [CaPe1], Chapitre 7, preuve du Théorème 7.18)

$$\begin{aligned} P_\sigma(\eta, \mathbf{w}) &= (\rho_x(\mathbf{w}), -\eta \circ \rho_x(\cdot) + \langle \xi, C_x(\mathbf{w}, \cdot) \rangle) \\ &= (\rho_x(s), \Phi_{[s, \cdot]_\rho}(\sigma) + d_x f \circ \rho). \end{aligned} \quad (3.12)$$

À  $P$  est associé un crochet  $\{.,.\}_P$  sur  $\mathfrak{A}(E_U^*) \times \mathfrak{A}(E_U^*)$  dont la restriction à  $\mathfrak{A}_L(E_U^*) \times \mathfrak{A}_L(E_U^*)$  est à valeurs dans  $\mathfrak{A}_L(E_U^*)$ . Puisque le crochet de Lie  $[\cdot, \cdot]_E$  vérifie l'identité de Jacobi, ceci implique que l'application bilinéaire  $\{.,.\}_P$  vérifie aussi l'identité de Jacobi. En prenant  $U = M$ , on obtient ainsi une variété de Poisson  $(E^*, \mathfrak{A}(E^*), \{.,.\}_P)$  (pour plus de détails cf. [CaPe1], Chapitre 7). A noter que la structure canonique symplectique faible sur  $T^*M$  est précisément la structure de Poisson sur  $T^*M$  associée à la structure naturelle d'algèbroïde de Lie sur  $T^*M$ .

**Exemple 3.28.** Crochets de Poisson sur le dual de l'algèbre de Banach-Lie d'un groupe de Lie non nécessairement réflexive.

Soit  $G$  un groupe de Lie-Banach dont l'algèbre de Lie  $\mathfrak{g}$  n'est pas nécessairement réflexive et soit  $\mathfrak{g}^*$  le dual de  $\mathfrak{g}$ .

Afin de définir un crochet, il est nécessaire de se restreindre à l'ensemble  $\mathfrak{A}$  des fonctions régulières, i.e. aux fonctions  $f \in C^\infty(\mathfrak{g}^*)$  dont les dérivées  $df(\alpha) : \mathfrak{g}^* \rightarrow \mathbb{R}$  appartiennent au sous-espace  $\mathfrak{g}$  de  $\mathfrak{g}^{**}$  pour tout  $\alpha \in \mathfrak{g}$ .

On peut alors définir divers crochets classiques sur cet espace :

1. Remarquons d'une part que  $\mathfrak{g}^* \times \mathfrak{g}$  est un sous fibré fermé de  $\mathfrak{g}^* \times \mathfrak{g}^{**} = T^*\mathfrak{g}^*$  et l'application  $\text{ad}^*$  définit un morphisme  $P : \mathfrak{g}^* \times \mathfrak{g} \rightarrow \mathfrak{g}^* \times \mathfrak{g}^*$  par  $P_\alpha(X) = \text{ad}_X^*(\alpha)$ . Notons d'autre part que si  $\langle \cdot, \cdot \rangle$  est l'appariement naturel  $\mathfrak{g}^* \times \mathfrak{g} \rightarrow \mathbb{R}$ , on a

$$\langle \alpha, [X(\alpha), Y(\alpha)] \rangle = \langle \text{ad}_X^*(\alpha), Y(\alpha) \rangle = \langle P_\alpha(X), Y(\alpha) \rangle$$

pour toutes sections  $X$  et  $Y$  de  $\mathfrak{g}^* \times \mathfrak{g}$  en particulier,  $P$  est une quasi ancre de Poisson. Maintenant, si  $f$  et  $g$  appartiennent à  $\mathfrak{A}$  alors  $df$  et  $dg$  sont des sections de  $\mathfrak{g}^* \times \mathfrak{g}$  et par suite est associé le crochet :

$$\{f, g\}_{\text{LP}}(\alpha) = \langle \alpha, [df(\alpha), dg(\alpha)] \rangle.$$

Ce crochet satisfait à la fois l'identité de Leibniz et celle de Jacobi. Ainsi,  $(\mathfrak{g}^*, \mathfrak{A}, \{.,.\}_{\text{LP}})$  est une variété de Poisson partielle.

En fait, par construction, le crochet de Poisson  $\{.,.\}_{\text{LP}}$  n'est rien d'autre que le crochet de Poisson sur  $\mathfrak{g}^*$  associé à la structure d'algèbroïde de Lie sur  $T\mathfrak{g}^*$  défini par le crochet de Lie sur  $\mathfrak{g}^7$  (cf. Exemple 3.27).

Notons que si  $G$  est un groupe de Lie de dimension finie, cette structure de Poisson n'est rien d'autre que la structure classique de Kirillov-Kostant-Souriau sur  $\mathfrak{g}^*$ .

---

7. Cette structure de Poisson est linéaire, i.e. le crochet de deux fonctionnelles linéaire est encore une fonctionnelle linéaire.

On rencontre ce type de structures dans le processus de réduction d'un système Hamiltonien où le crochet et l'Hamiltonien transformés dépendent d'un plus petit nombre de variables, e.g. pour le crochet de Lie-Poisson pour un solide ou pour l'équation d'Euler d'un fluide idéal en 2D.

2. On associe à tout élément fixé  $\alpha_0$  de  $\mathfrak{g}^*$  le crochet défini par

$$\forall (f, g) \in \mathfrak{A}^2, \forall \alpha \in \mathfrak{g}^*, \{f, g\}_{\alpha_0}(\alpha) = \langle \alpha_0, [df(\alpha), dg(\alpha)] \rangle$$

qui satisfait lui aussi les identités de Leibniz et de Jacobi. La structure de Poisson est appelée structure de Poisson constante ou figée en  $\alpha_0$ .

3. Soit  $\omega \in \Lambda^2 \mathfrak{g}^*$  une 2-forme antisymétrique sur  $\mathfrak{g}^*$ .

Le crochet  $\{f, g\}^\omega$  défini par

$$\forall (f, g) \in \mathfrak{A}^2, \forall \alpha \in \mathfrak{g}^*, \{f, g\}^\omega = \langle \alpha, [df(\alpha), dg(\alpha)] \rangle + \omega(df(\alpha), dg(\alpha))$$

est un crochet de Poisson si et seulement si  $\omega$  est un 2-cocycle, i.e. vérifie, pour tout triplet  $(x, y, z)$  d'éléments de  $\mathfrak{g}$ , la condition

$$\omega([x, y], z) + \omega([y, z], x) + \omega([z, x], y) = 0.$$

Ce crochet est appelé crochet de Lie-Poisson modifié par  $\omega$  (cf. [Ben10], 2.1.4 pour le cas de la dimension finie).

De plus, cette structure est isomorphe à la structure de Lie-Poisson si et seulement si  $\omega$  est un cobord, i.e. il existe  $\beta \in \mathfrak{g}^*$  tel que

$$\forall (x, y) \in \mathfrak{g}^{\star 2}, \omega(x, y) = \langle \beta, [x, y] \rangle.$$

La translation par  $\beta$  fournit l'isomorphisme entre  $(\mathfrak{g}^*, \{.,.\}_{LP})$  et  $(\mathfrak{g}^*, \{.,.\}^\omega)$ .

**Exemple 3.29.** Crochets de Poisson sur le pré-dual de l'algèbre de Banach-Lie d'un groupe de Lie non nécessairement réflexive. (cf. [OdRa03]).

Soit  $G$  un groupe de Lie-Banach dont l'algèbre de Lie  $\mathfrak{g}$  n'est pas nécessairement réflexive et soit  $\mathfrak{g}^*$  le dual de  $\mathfrak{g}$ . Supposons que  $\mathfrak{g}$  possède un pré-dual  $\mathfrak{g}_\star$ <sup>8</sup>. Puisque  $\mathfrak{g}_\star \subset (\mathfrak{g}_\star)^{\star\star} = \mathfrak{g}^*$  la condition suivante a un sens :

$$\forall g \in G, \text{Ad}_g^*(\mathfrak{g}_\star) \subset \mathfrak{g}_\star.$$

Dans ce cas, le fibré  $\mathfrak{g}_\star \times \mathfrak{g}$  est le fibre cotangent à  $\mathfrak{g}_\star$  et par suite  $\text{ad}_{X(\alpha)}^*$  appartient à  $\mathfrak{g}_\star$  pour toute section  $X$  de ce fibré. Il en résulte que,  $P_\alpha(X) = \text{ad}_{X(\alpha)}^*$  définit une ancre de Poisson partielle sur  $\mathfrak{g}_\star$ .<sup>9</sup>

**Exemple 3.30.** Limite directe de structures partielles de Poisson sur des variétés de Banach.

Cet exemple est fondé sur la section Direct limits of partial Poisson Banach manifolds du Chapitre 7 du livre [CaPe1].

On considère une suite directe  $(T^b M_i, P_i, \{.,.\}_i)_{i \in \mathbb{N}}$  de structures de Banach-Poisson partielles :

$(M_i)_{i \in \mathbb{N}}$  est une croissante de variétés de Banach lisses où  $M_i$  est modélée sur l'espace de Banach  $\mathbb{M}_i$  avec  $\mathbb{M}_i$  sous-espace de Banach supplémenté dans  $\mathbb{M}_{i+1}$  et où  $(M_i, \varepsilon_i^{i+1})$  est une sous-variété faible de  $M_{i+1}$ . On a de plus les propriétés suivantes :

8. i.e. le dual de  $\mathfrak{g}_\star$  est égal à  $\mathfrak{g}$ .

9. Lorsque qu'on a une ancre de Poisson partielle  $P : T^*M \rightarrow TM$ , on parlera souvent simplement d'ancre de Poisson.

- (1)  $T^*\varepsilon_i^{i+1}(T^b M_{i+1}) \subset T^b M_i$  ;
- (2)  $P_{i+1} = T\varepsilon_i^{i+1} \circ P_i \circ T^*\varepsilon_i^{i+1}$  ;
- (3) *Au voisinage de chaque point  $x \in M$ , il existe une suite de cartes locales  $(U_i, \phi_i)_{i \in \mathbb{N}}$  telle que  $(U = \varinjlim(U_i), \phi = \varinjlim(\phi_i))$  est une carte locale en  $x$  dans  $M$ , de telle manière que les cartes  $(U_i, \phi_i)$  and  $(U_{i+1}, \phi_{i+1})$  sont compatible avec la propriété (1).*

Il existe alors un sous fibré faible  $p^b : T^b M \rightarrow M$  de  $p'_M : T^b M \rightarrow M$ , où  $M = \varinjlim M_i$  est une variété adaptée, et un morphisme  $P : T^b M \rightarrow TM$  tel que  $(M, \mathfrak{A}_P(M), \{.,.\}_P)$  est une structure de Poisson partielle. Si, pour  $i$  entier naturel quelconque,  $\varepsilon_i : M_i \rightarrow M$  est l'injection canonique alors, qui plus est,  $\varepsilon_i$  est un morphisme de Poisson de  $(M_i, \mathfrak{A}(M_i), \{.,.\}_{P_i})$  dans  $(M, \mathfrak{A}(M), \{.,.\}_P)$  et

$$\begin{aligned} \mathfrak{A}_P(M) &= \varinjlim \mathfrak{A}_{P_i}(M_i) \\ \{.,.\}_P &= \varinjlim \{.,.\}_{P_i}. \end{aligned}$$

### 3.2.5 Distribution caractéristique

#### Feuilletages et distributions.

Un feuilletage d'une variété adaptée  $M$  est une partition de  $M$  en sous-variétés faibles, appelées *feuilles* du feuilletage.

D'un point de vue infinitésimal, pour une variété feuilletée  $M$ , on désigne pour tout point  $x$  de  $M$  par  $\mathcal{D}_x$  l'espace tangent à la feuille passant par  $x$ . Le feuilletage est dit *régulier* si  $\mathcal{D} := \cup_{x \in M} \mathcal{D}_x$  est un sous fibré fermé de  $TM$ . Sinon le feuilletage est dit *singulier*. Pour un feuilletage régulier, pour tout couple de champs de vecteurs locaux tangents à  $\mathcal{D}$ , leur crochet de Lie est encore tangent à  $\mathcal{D}$ .

Une *distribution* sur une variété adaptée  $M$  est une application  $\mathcal{D} : x \mapsto \mathcal{D}_x \subset T_x M$  sur  $M$ , où  $\mathcal{D}_x$  est un sous-espace vectoriel de  $T_x M$ . Une distribution  $\mathcal{D}$  est dite

1. *lisse* si, pour tout  $x \in M$ ,  $\mathcal{D}_x$  est engendrée par les champs de vecteurs locaux qui sont tangents à  $\mathcal{D}$  au voisinage de  $x$  ;
2. *intégrable* si, pour tout  $x \in M$ , il existe une sous-variété immergée faible  $f : L \rightarrow M$  telle que

$$\forall z \in L, T_z f(T_z L) = \mathcal{D}_{f(z)};$$

3. *involutive* si pour tous champs de vecteurs locaux  $X$  et  $Y$  sur  $M$  qui sont tangents à  $\mathcal{D}$ , le crochet de Lie  $[X, Y]$  est aussi tangent à  $\mathcal{D}$ .

#### Distribution caractéristique.

On associe à une structure de Poisson partielle  $(T^b M, TM, P)$ , la famille de sous-espaces vectoriels

$$\{\mathcal{D}_x = P(T_x^b M) \subset T_x M\}_{x \in M}.$$

La réunion  $\mathcal{D} := \bigcup_{x \in M} \mathcal{D}_x$  est une distribution sur  $M$  appelée *distribution caractéristique*.

En dimension finie, quand  $T^b M = T' M$ , il est bien connu que la distribution caractéristique donne naissance à un feuilletage de Stefan-Sussman et que chaque *feuille* est une sous-variété symplectique immergée (cf. [Wei94]).

Dans le cadre adapté, ceci n'est plus vrai en général. En fait, le problème apparaît dès le cadre de Banach (cf. Remark 3.32). On a cependant les conditions suffisantes suivantes pour lesquelles un tel résultat est vrai (cf. [PeCa19]).

**THÉORÈME 3.31.** *Soit  $(T^b M, TM, P)$  une variété de Poisson partielle pour laquelle le noyau de  $P$  est scindé dans chaque fibre  $T_x^b M$  de  $T^b M$  et où  $P(T^b M)$  est une distribution fermée. On alors :*

1.  $\mathcal{D} = P(T^b M)$  est intégrable et le feuilletage défini par  $\mathcal{D}$  est un feuilletage symplectique faible, i.e. tel que sur chaque feuille  $N$  de ce feuilletage, on a une 2-forme fermée non dégénérée  $\omega_N$  sur  $TN$  telle que pour tout  $u$  et tout  $v$  de  $T_x N$ , on a  $\omega_N(u, v) = \langle \alpha, P(\beta) \rangle$  pour tout couple  $(\alpha, \beta)$  d'éléments de  $T_x^b M$  où  $P(\alpha) = u$  et  $P(\beta) = v$ .
2. Sur chaque feuille maximale  $N$ , on considère la forme naturelle faible  $\omega_N$ . On note  $\mathcal{E}_{\omega_N}(V)$  le sous-ensemble des fonctions  $f \in C^\infty(V)$  telles que  $df$  appartienne à  $\omega_N^b(TV)$ . La restriction  $f_N$  à  $U \cap N$  de n'importe quelle fonction  $f \in \mathcal{E}(U)$  appartient à  $\mathcal{E}_{\omega_N}(U \cap N)$  et on a, pour tout  $f$  et tout  $g$  de  $\mathcal{E}(U)$ ,

$$\{f|_N, g|_N\}_{P|_N} = \{f_N, g_N\}_{\omega_N}.$$

**REMARQUE 3.32.** *En général, dans le cadre adapté, la distribution caractéristique n'est pas intégrable. Notons que dans le cadre de Banach, lorsque le noyau de  $P$  est scindé mais si la distribution caractéristique  $\mathcal{D}$  n'est pas fermée elle peut être intégrable (cf. Exemple 3.34 et 3.35). Comme ces exemples sont des cas particuliers, nous pensons que, en général, la distribution caractéristique n'est pas intégrable même si le noyau de  $P$  est scindé car, en dehors du cadre de Banach, il n'existe pas de théorème d'existence de flot ou des fonctions implicites. Malheureusement, nous n'avons pas d'exemple pouvant étayer une telle conjecture.*

Cependant, plus généralement, on a aussi :

**THÉORÈME 3.33.** *On considère une suite directe  $(T^b M_i, P_i, \{.,.\}_i)_{i \in \mathbb{N}}$  de structures de Banach-Poisson partielles<sup>10</sup> ayant les propriétés suivantes*

---

10. cf. Exemple 3.30

- (1) Chaque variété de Poisson partielle  $(T^b M_i, P_i, \{\cdot, \cdot\}_i)_{i \in \mathbb{N}}$  vérifie les hypothèses du Théorème 3.31 pour tout entier  $i$ .
- (2) pour tout  $x \in M$ , il existe un voisinage ouvert  $U$  de  $x = \varinjlim x_i$  et une suite ascendante de voisinage ouvert  $U_i$  simplement connexe de  $x_i$  tels  $U = \varinjlim U_i$ ,  $T^b M_i|_{U_i}$  est supplémenté dans  $T^b M_{i+1}|_{U_i}$

Alors la distribution caractéristique  $\mathcal{D} = P(T^b M)$  est intégrable et la feuille  $N$  contenant  $x$  est la limite directe de la suite des feuilles  $N_i$  contenant  $x_i$ . De plus,  $L$  possède une structure de variété symplectique faible définie par une forme symplectique  $\omega = \varinjlim \omega_i$  si  $\omega_i$  est la forme symplectique faible canonique sur  $N_i$ .

*Idée de la démonstration.* Tout d'abord, il résulte de l'Exemple 3.30 que la distribution caractéristique  $P(T^b M)$  est une limite directe locale de fibrés Banachiques de Koszul puisque chaque ouvert  $U_i$  est simplement connexe et donc  $T^b M_i|_{U_i}$  est muni d'une connection canonique linéaire plate et donc compatible avec la structure canonique plate sur  $T^b M_{i+1}|_{U_{i+1}}$  (cf. [CaPe1], Chapitre 8, Définition 8.6). Il suffit alors d'appliquer le Théorème 8.66 de [CaPe1]<sup>11</sup>. Maintenant concernant le résultat  $\omega = \varinjlim \omega_i$ , il suffit d'appliquer la Proposition 5.56 du Chapitre 5 de [CaPe1].  $\square$

**Exemple 3.34.** Distributions caractéristiques sur le dual d'une algèbre de Lie-Banach d'un groupe de Lie non nécessairement réflexive.

On considère un groupe de Lie-Banach  $G$  dont l'algèbre de Lie  $\mathfrak{g}$  n'est pas nécessairement réflexive et on désigne par  $\mathfrak{g}^*$  le dual de  $\mathfrak{g}$  (cf. Exemple 3.28). Soit l'algèbre des fonctions régulières

$$\mathfrak{A} = \{f \in C^\infty(\mathfrak{g}^*), \forall \alpha \in \mathfrak{g}^*, (df(\alpha) : \mathfrak{g}^* \rightarrow \mathbb{R}) \in \mathfrak{g} \subset \mathfrak{g}^{**}\}.$$

Le crochet de Lie-Poisson peut être écrit pour tout couple  $(f, g)$  de fonctions de  $\mathfrak{A}$  et tout élément  $\alpha \in \mathfrak{g}^*$ ,

$$\begin{aligned} \{f, g\}_{\text{LP}}(\alpha) &= \langle \alpha, [df(\alpha), dg(\alpha)] \rangle \\ &= \langle \alpha, \text{ad}_{df}^*(\alpha)(dg(\alpha)) \rangle \\ &= \langle \text{ad}_{df}^*(\alpha), dg(\alpha) \rangle \\ &= \langle P_\alpha(df), dg(\alpha) \rangle. \end{aligned}$$

Ainsi le champ hamiltonien associé à l'hamiltonien  $f$  est

$$X_f^{\text{LP}}(\alpha) = \text{ad}_{df}^*(\alpha) = P_\alpha(df).$$

Dans le cadre Banachique, si pour chaque  $\alpha \in \mathfrak{g}^*$ , le noyau  $\mathfrak{g}_\alpha$  de  $P$  est scindé dans  $\mathfrak{g}$ , alors il existe un groupe de Lie caractérisé par

$$G_\alpha = \{g \in G : \text{Ad}_g^*(\alpha) = \alpha\}$$

11. En fait, il faut remplacer l'hypothèse " $(E_n, \pi_n, U_n, \rho_n, [\cdot, \cdot]_n)$ " est un algébroïde de Banach par " $(E_n, \pi_n, U_n, \rho_n, [\cdot, \cdot]_n)$ " est un algébroïde de Banach partiel fort et la démonstration du Théorème 8.66 de [CaPe1] fonctionne de la même manière.

dont l'algèbre de Lie est  $\ker P_\alpha$  (groupe d'isotropie de  $\alpha$ ). Par suite, le quotient  $G/G_\alpha$  a une structure de variété Banachique quotient  $G/G_\alpha$ . (cf. [Bou72], Chapter III, §6.4, Corollary 1). Soit  $\iota_\alpha$  l'application quotient de l'application  $g \mapsto \text{Ad}_g^*(\alpha)$  par  $G_\alpha$ . Alors  $\iota_\alpha$  est une application injective  $C^\infty$  de  $G/G_\alpha$  dans  $\mathfrak{g}^*$ . Il en résulte que son image (qui est l'orbite coadjointe  $\mathcal{O}_\alpha$  de  $\alpha$ ) est munie de cette structure de variété banachique et l'espace tangent à cette orbite est l'image de  $P_\alpha$ . Cette image n'est pas fermée en général si cet espace est de dimension infinie. Ainsi la distribution caractéristique est intégrable puisque les feuilles de la structure de Lie-Poisson sont alors les orbites coadjointes de l'action du groupe sur  $\mathfrak{g}^*$  et elle n'est pas nécessairement fermée ; elle n'est fermée que si ces orbites sont de dimensions finies (cf. [OdRa08b] par exemple). Cette situation généralise la situation classique de Kirillov-Kostant-Souriau sur  $\mathfrak{g}^*$  (cf. [Kir81]).

**Exemple 3.35.** Distribution caractéristique sur le pré-dual de l'algèbre de Banach-Lie d'un groupe de Lie non nécessairement réflexive. ([OdRa03]).

Soit  $G$  un groupe de Lie-Banach dont l'algèbre de Lie  $\mathfrak{g}$  n'est pas nécessairement réflexive et supposons que  $\mathfrak{g}$  possède un pré-dual  $\mathfrak{g}_*$  tel que pour tout  $g \in G$ , on a  $\text{Ad}_g^*(\mathfrak{g}_*) \subset \mathfrak{g}_*$  (cf. Exemple 3.29). Comme dans l'Exemple 3.34 on suppose de plus que pour tout  $\alpha \in \mathfrak{g}_*$  le noyau de  $P_\alpha : T_\alpha^* \mathfrak{g}_* \rightarrow T_\alpha \mathfrak{g}_*$  est scindé<sup>12</sup>. Les mêmes arguments que dans l'exemple précédent permettent de montrer que la distribution caractéristique est intégrable et que chaque feuille est difféomorphe au quotient  $G/G_\alpha$  où  $G_\alpha$  est le groupe d'isotropie de  $\alpha$ . En particulier une fois de plus si la distribution caractéristique n'est pas de dimension finie, elle n'est pas nécessairement fermée (cf. [OdRa08b] par exemple).

**Exemple 3.36.** Distribution caractéristique d'une structure de Poisson partielle associée à un algébroïde de Lie-Banach Lie

On considère un algébroïde Lie-Banach  $(E, M, \rho, [\cdot, \cdot]_E)$ . Supposons que  $\ker \rho_x$  soit scindé dans la fibre  $E_x$  pour tout  $x \in M$  et que l'image de  $\rho_x$  soit fermée. Alors la distribution  $\rho(E)$  est intégrable (cf [Pel12] ou [CaPe1], Théorème 8.47). Soit  $P : T^b E^* \rightarrow TE^*$  l'ancre de Poisson associée à cet algébroïde (cf. Exemple 3.27). Par construction, on a  $\mathcal{D}(\sigma) = P(T_\sigma^b E^*)$ . Rappelons que si  $\sigma = (x, \xi)$ , en coordonnées locales, on a comme indiqué dans l'exemple 3.27, (3.12) :

$$\begin{aligned} P_\sigma(\eta, \mathbf{w}) &= (\rho_x(\mathbf{w}), -\eta \circ \rho_x(\cdot) + \langle \xi, C_x(\mathbf{w}, \cdot) \rangle) \\ &= (\rho_x(s), \Phi_{[s, \cdot]_\rho}(\sigma) + d_x f \circ \rho). \end{aligned} \quad (3.13)$$

Si l'algébroïde de Lie-Banach  $(E, M, \pi, \rho, [\cdot, \cdot]_\rho)$  est tel que l'image de  $\rho_x$  soit fermée et son noyau scindé, l'image de  $P_\sigma$  est fermée dans  $T_\sigma E^*$ . En effet, si  $F$  est un supplémentaire de  $K := \ker \rho_x$  dans la fibre  $E_x$ , la restriction de  $\rho_x$  à  $F$  est un isomorphisme sur  $\rho_x(E_x)$ . D'autre part le noyau de  $\rho_x^*$  est l'annulateur  $(\text{im } \rho_x)^{\text{ann}}$  de  $\text{im } \rho_x$  et  $\rho_x^*$  induit un isomorphisme  $\widehat{\rho}_x^*$  de  $T_x^* M / (\text{im } \rho_x)^{\text{ann}}$  sur  $\text{im } \rho_x^*$  qui est égal à l'annulateur  $K^{\text{ann}}$  et donc  $\text{im } \rho_x^*$  est fermé. Considérons  $(X, \theta) \in T_\sigma E^*$  qui appartient à la fermeture de  $\text{im}(P_\sigma)$ . il existe une suite  $(\eta_n, \mathbf{w}_n) \in F \times T_x^* M$  telle que  $P_\sigma(\eta_n, \mathbf{w}_n)$  converge vers  $(X, \theta)$ . Comme  $\rho_x|_F$

12. Cette condition est équivalente à la condition (iii) du Théorème 7.3 de [OdRa03].



est un isomorphisme,  $w_n$  converge vers  $w \in F$  et on a  $\rho_x(w) = X$ . De même  $\xi \circ C_x(w_n, \cdot)$  converge vers  $\xi \circ C_x(w, \cdot)$  et comme la composante verticale de  $P_\sigma(\eta_n, w_n)$  converge vers  $\theta$ , il en résulte que  $\bar{\eta} := \theta - \xi \circ C_x(w, \cdot)$  appartient à l'image de  $\rho^*$  puisque cette image est fermée et isomorphe à  $K^{\text{ann}}$ . Il en résulte que la suite de classes d'équivalences de  $[\eta_n] \in T_x^*M/(\text{im } \rho_x)^{\text{ann}}$  converge vers  $[\eta] = (\widehat{\rho_x^*}|_{K^{\text{ann}}})^{-1}(\bar{\eta})$  d'où le résultat.

Par ailleurs, on a

$$\ker P_\sigma = \{(w, \eta) \in K \times T^*M, \rho_x^* \eta = \xi \circ C_x(w, \cdot)\}.$$

Par suite si l'espace  $H_x := \ker P_\sigma$  est scindé<sup>13</sup>, la distribution caractéristique est intégrable (cf. Théorème 3.31). De plus, chaque feuille caractéristique contenant  $(x, \xi) \in E^*$  est alors un fibré Banachique au-dessus de la feuille contenant  $x$  du feuilletage sur  $M$  associé à  $\rho$  et dont la fibre est isomorphe à  $E_x^*/H_x$ .

**Exemple 3.37.** Limite directe de variétés de Poisson partielles de dimension finie. Si  $(T^b M_i, P_i, \{.,.\}_i)_{i \in \mathbb{N}}$  est une suite croissante de variétés de Poisson de dimension finies, toutes les hypothèses du Théorème 3.33 sont satisfaites. Par suite la limite directe  $M = \varinjlim M_i$  possède une structure de variété adaptée de Poisson partielle dont la distribution caractéristique est intégrable. En particulier, toute limite directe de variétés symplectiques de dimensions finies est une variété adaptée faiblement symplectique.

Toute fonction  $f \in \mathfrak{A}_P(M)$  est une limite directe  $f = \varinjlim f_i$ , où  $f_i \in \mathfrak{A}_{P_i}(M_i)$  (cf. Exemple 3.30) et par suite possède un champ Hamiltonien  $X_f = \varinjlim X_{f_i}$ .

**Exemple 3.38.** Limite directe de variétés de Poisson partielles de Hilbert.

Si  $(T^b M_i, P_i, \{.,.\}_i)_{i \in \mathbb{N}}$  est une suite croissante de variétés hilbertiennes de Poisson partielles vérifiant l'hypothèse (1) du Théorème 3.33, l'hypothèse (2) est automatiquement vérifiée. Par suite la limite directe  $M = \varinjlim M_i$  possède une structure de variété de Poisson partielle adaptée dont la distribution caractéristique est intégrable. En particulier, toute limite directe de variétés hilbertiennes symplectiques est une variété adaptée faiblement symplectique.

Comme dans l'Exemple 3.37, toute fonction  $f \in \mathfrak{A}_P(M)$  est une limite directe  $f = \varinjlim f_i$ , où  $f_i \in \mathfrak{A}_{P_i}(M_i)$  et, par suite, possède un champ Hamiltonien  $X_f = \varinjlim X_{f_i}$ .

Ces résultats et exemples justifient la définition suivante.

**DÉFINITION 3.39.** Soit  $(M, \mathfrak{A}_M\{.,.\}_P)$  une structure de Poisson partielle sur une variété adaptée  $M$  associée à l'ancre de Poisson  $P : T^b M \rightarrow TM$ . On dit que la distribution caractéristique  $\mathcal{D}$  est fermée scindée intégrable (**FSI** en abrégé) si

- pour chaque  $x \in M$ , le sous espace vectoriel  $P(T_x^b M)$  est fermé et  $\ker P_x$  est scindé dans  $T_x^b M$ ;

13. Cette situation est toujours vraie si la fibre type  $\mathbb{E}$  du fibré  $E$  est un espace de Hilbert ou si  $\rho_x$  est un opérateur semi-Fredholm

- l'application linéaire bijective canonique  $\hat{P}_x$  entre  $T_x^b M / \ker P_x$  et  $\mathcal{D}(x) = P(T_x^b M)$  associée à  $P_x$  est un isomorphisme ;
- $\mathcal{D}$  est intégrable.

A noter que dans le contexte des Théorèmes 3.31 et 3.33 la distribution caractéristique est **FSI**.

Il résulte de la Remarque 3.3 que si la distribution caractéristique est **FSI** alors l'espace caractéristique  $\mathcal{D}(x)$  est muni d'une forme bilinéaire bornée symplectique faible  $\Omega_x$  canonique. On introduit alors la notion suivante (cf. [PeCa19]).

**DÉFINITION 3.40.** Soit  $(M, \mathfrak{A}_M\{.,.\}_P)$  une structure de Poisson partielle sur une variété adaptée  $M$  associée à l'ancre de Poisson  $P : T^b M \rightarrow TM$  telle que la distribution caractéristique est intégrable. Une feuille symplectique faible est une sous variété faible  $(N, \iota_N)$  où  $N \subset M$  et  $\iota_N : N \rightarrow M$  est l'inclusion naturelle possédant les propriétés suivantes :

1.  $(N, \iota_N)$  est une feuille de  $\mathcal{D}$  ;
2. Sur  $N$ , il existe une forme symplectique faible  $\omega_N$  telle que  $(\omega_N)_x = \Omega_x$  pour tout  $x \in N$ .

Comme en dimension finie, on a le résultat suivant établi dans [PeCa19] :

**THÉORÈME 3.41.** Soit  $(T^b M, M, P, \{.,.\}_P)$  une structure de Poisson partielle sur une variété adaptée  $M$  associée à l'ancre de Poisson  $P : T^b M \rightarrow TM$ . Si la distribution caractéristique est **FSI**, alors chaque feuille a une structure naturelle de feuille symplectique faible.

**DÉFINITION 3.42.** Soit  $(M, \mathfrak{A}_M, \{.,.\}_P)$  une structure de Poisson partielle sur une variété adaptée  $M$  associée à l'ancre de Poisson  $P : T^b M \rightarrow TM$ . On dit que la distribution caractéristique  $\mathcal{D}$  est maximale en  $x \in M$  s'il existe un voisinage ouvert  $U$  autour de  $x$  tel que la restriction de  $\mathcal{D}$  à  $U$  soit un sous fibré de  $TM|_U$ .

Si  $\mathcal{D}$  est intégrable, une feuille  $N$  telle que  $\mathcal{D}$  est maximale pour tout  $x \in N$  est appelée une feuille symplectique maximale.

L'ensemble  $\Sigma$  des points  $x$  où  $\mathcal{D}$  est maximale est un ouvert et, de plus, on a :

**PROPOSITION 3.43.** L'ensemble  $\Sigma$  est un ouvert dense de  $M$  et la restriction de  $\mathcal{D}$  à chaque composante connexe de  $\Sigma$  est un sous-fibré adapté fermé de  $TM$ . En particulier, si  $\mathcal{D}$  est intégrable, toute feuille symplectique faible maximale est contenue dans l'une des composantes connexes de  $\Sigma$  et  $\mathcal{D}$  définit un feuilletage régulier de  $\Sigma$  en variétés symplectiques faibles.

### 3.2.6 Fonctions de Casimir

Les structures symplectiques correspondent à des structures de Poisson non dégénérées. Dans ce cas, le crochet de Poisson satisfait la condition supplémentaire

$$\forall g \in C^\infty(M), \{f, g\} = 0$$

si et seulement si  $f$  est une fonction constante.

Pour des structures de Poisson dégénérées il existe des fonctions non constantes vérifiant cette propriété appelées fonctions de Casimir et correspondent à des constantes du mouvement pour tout champ de vecteurs Hamiltonien.

On étend alors cette notion aux structures de Poisson partielles.

**DÉFINITION 3.44.** Soit  $(T^bM, M, P, \{.,.\}_P)$  une structure de Poisson partielle sur une variété adaptée  $M$ .

Une fonction  $C$  de  $\mathfrak{A}(U)$  est dite fonction de Casimir si

$$\forall f \in \mathfrak{A}(U), \{C, f\}_P = 0.$$

**PROPOSITION 3.45.** L'ensemble  $\text{Cas}_P(U)$  des fonctions de Casimir locales associées à l'ancre de Poisson  $P$  a une structure d'algèbre abélienne qui est le centre de l'algèbre  $\mathfrak{A}(U)$ .

*Démonstration.* Il est clair que  $\text{Cas}_P(U)$  est un sous-espace vectoriel de  $\mathfrak{A}(U)$ . Soient  $C_1$  et  $C_2$ , deux fonctions de Casimir et soit  $g$  un élément quelconque de  $\mathfrak{A}(U)$ ; on a donc  $\{C_1, g\} = 0$  et  $\{C_2, g\} = 0$ . Puisque le crochet  $\{.,.\}_P$  est une bi-dérivation de  $\mathfrak{A}(M)$ , la règle de Leibniz donne

$$\{C_1.C_2, g\}_P = C_1.\{C_2, g\} + C_2.\{C_1, g\} = 0$$

et ainsi le produit  $C_1.C_2$  est encore une fonction de Casimir locale. Les autres propriétés découlent naturellement de la définition d'une fonction de Casimir.  $\square$

**PROPOSITION 3.46.** Soit  $N$  une sous variété fermée de  $M$ . Si  $N$  est tangente à la distribution caractéristique<sup>14</sup> alors toute fonction de Casimir  $C \in \text{Cas}_P(U)$  est constante sur  $U \cap N$ .

En particulier, si la distribution est intégrable et si chaque feuille est une sous-variété fermée alors la restriction de toute fonction de Casimir locale est constante sur cette feuille.

Si un champ Hamiltonien  $X_H = P.dH$  admet des courbes intégrales<sup>15</sup>, alors toute fonction de Casimir est constante sur toute les courbes intégrales de  $X_H$ .

*Démonstration.* Soit  $C$  une fonction de Casimir et soit  $N$  une sous variété fermée connexe de  $M$  tangente à la distribution caractéristique. Notons que puisque  $N$  est une sous variété fermée, la restriction de  $C$  à  $N$  est aussi lisse. Pour tout  $x \in N$ , il existe un ouvert  $U$  autour de  $x$  dans  $M$  tel que l'image  $P(T_x^bM)$  est engendrée par l'ensemble  $\{d_x f, f \in \mathfrak{A}(U)\}$ . Par suite, si  $u \in T_x N$ , il existe une fonction  $f \in \mathfrak{A}(U)$  telle que  $u = P(d_x f)$ . Mais  $\{f, C\}_P(x) = - \langle d_x C, u \rangle = 0$ . Ce résultat est vrai pour tout  $x$  de  $N$  et dans le domaine de définition de  $C$  et tout  $u \in T_x N$ . Il en résulte que  $C$  est constante sur  $N$ . Les autres propriétés en découlent clairement.  $\square$

14. i.e.  $\forall x \in N, T_x N \subset P(T_x^bM)$ .

15. On rappelle que dans le cadre adapté (ou  $c^\infty$ -complet.), un champ de vecteurs cinématique lisse n'admet pas nécessairement de courbes intégrales (cf. [KrMi97], 32.12).

Considérons une structure de Poisson partielle  $(M, \mathfrak{A}_M\{.,.\}_P)$  associée à l'ancre  $P : T^bM \rightarrow TM$ . Si  $P$  est un isomorphisme, c'est-à-dire une variété partielle symplectique alors la distribution  $\mathcal{D}$  est trivialement **FSI** et seules les fonctions Casimir sont les fonctions constantes sur chaque composante connexe de  $M$ . En particulier, toutes les fonctions de Casimir sont globales. Par contre si la distribution  $\mathcal{D}$  est **FSI** et de codimension strictement positive, alors pour tout ouvert  $U$  connexe contenu dans  $\Sigma$ , la distribution caractéristique est un sous-fibré fermé  $\mathcal{D}_U$  de  $TM_U$  et par suite l'annulateur  $\mathcal{D}_U^{\text{ann}}$  de  $\mathcal{D}_U$ , i.e. le noyau de  $P$  au-dessus de  $U$  est aussi un sous-fibré fermé de  $T^bM_U$ . Par conséquent, l'algèbre des fonctions de Casimir sur  $U$  est précisément l'algèbre des fonctions  $\text{Cas}_P(U) \subset \mathfrak{A}(U)$  dont la différentielle appartient à  $\mathcal{D}_U^{\text{ann}}$ .

**Exemple 3.47.** Fonctions de Casimir sur le dual d'une algèbre de Lie de dimension finie.

Pour cet exemple, on pourra consulter [BiMo91] (voir aussi [SBH11]).

Soit  $\mathfrak{g}$  une algèbre de Lie semi-simple de dimension  $n$  muni du crochet  $[.,.]$  et soit  $(e_1, \dots, e_n)$  une base de  $\mathfrak{g}$ . Les constantes de structure  $(c_{ij}^k)_{1 \leq i, j, k \leq n}$  de l'algèbre de Lie  $\mathfrak{g}$  sont définies par

$$[e_i, e_j] = \sum_{k=1}^n c_{ij}^k e_k.$$

Si  $(x_i)_{i \in \{1, \dots, n\}}$  sont les coordonnées de l'espace dual  $\mathfrak{g}^*$ , le crochet de Lie-Poisson est donné par

$$\forall (F_1, F_2) \in (C^\infty(\mathfrak{g}^*))^2, \{F_1, F_2\}_{\text{LP}} = \sum_{i, j, k=1}^n c_{ij}^k x_k \frac{\partial F_1}{\partial x_i} \frac{\partial F_2}{\partial x_j}.$$

Tout élément  $x$  de  $\mathfrak{g}$  définit l'endomorphisme adjoint  $\text{ad}_x$  de  $\mathfrak{g}$  où

$$\text{ad}_x(y) = [x, y].$$

La trace de la composition de deux tels endomorphismes définit une forme bilinéaire symétrique  $K$  par

$$K(x, y) = \text{trace}(\text{ad}_x \circ \text{ad}_y)$$

et appelée forme de Killing.

Son expression en coordonnées locales est

$$K_{ij} = \sum_{k, l=1}^n c_{ik}^j c_{jl}^k.$$

Puisque l'algèbre de Lie  $\mathfrak{g}$  est semi-simple, la forme de Killing est inversible (critère de semi-simplicité de Cartan) et l'expression de son inverse en coordonnées est noté  $K^{ij}$ .

La fonction  $C : (x_i, x_j) \mapsto \frac{1}{2} \sum_{i, j=1}^n K^{ij} x_i x_j$  est une fonction de Casimir pour le crochet de Lie-Poisson, i.e.  $\{C, .\}_{\text{LP}} = 0$ .

**Exemple 3.48.** Fonction de Casimir sur une limite directe de variétés de Poisson partielles de Hilbert

Si  $(T^b M_i, P_i, \{.,.\}_{i \in \mathbb{N}})$  est une suite croissante de variétés hilbertiennes de Poisson vérifiant l'hypothèse (1) du Théorème 3.33, alors la distribution caractéristique  $\mathcal{D}$  sur  $M = \varinjlim M_i$  est **FSI**. Par suite, pour tout ouvert  $U = \varinjlim U_i$  connexe contenu dans  $\Sigma$ , on a

$$\text{Cas}_P(U) = \varinjlim \text{Cas}_{P_i}(U_i).$$

**Exemple 3.49.** Fonctions de Casimir d'une structure de Poisson partielle associée à un algébroïde de Lie-Banach

On considère un algébroïde de Lie-Banach  $(E, M, \rho, [.,.]_E)$ . Supposons que  $\ker \rho_x$  soit scindé dans la fibre  $E_x$  pour tout  $x \in M$  et que l'image de  $\rho_x$  soit fermée. Soit  $P : T^b E^* \rightarrow TE^*$  l'ancre de Poisson associée à cet algébroïde (cf. Exemple 3.27). Si, pour tout  $x \in M$ , l'espace de Banach  $K_x := \{\xi \circ C_x(\mathbf{w}, .), \mathbf{w} \in \ker \rho_x\}$  est scindé dans  $E_x^*$  alors la distribution caractéristique sur  $E^*$  associée à  $P$  est **FSI** (cf. Exemple 3.36). Dans ce cas, si  $U$  est un ouvert connexe contenu dans  $\Sigma$  alors  $\text{Cas}_P(E_U^*)$  est engendrée par  $\pi^*(\text{Cas}_P(U))$  et par l'ensemble des fonctions  $\{\Phi_\alpha : \alpha \in \ker \rho\}$ .

### 3.2.7 Structure de Poisson partielles polarisées

Étant donné une variété Poisson  $M$  connexe de dimension  $n$ , définie par une ancre  $P$ , dont les feuilles symplectiques maximales sont de dimension  $2r$ . Un système  $\mathbf{F} := (f_1, \dots, f_s) : M \rightarrow \mathbb{R}^s$  est *intégrable au sens de Liouville* (cf. [LMV11]) si les conditions suivantes sont satisfaites :

- (1)  $f_1, \dots, f_s$  sont indépendantes sur un ouvert dense de  $M$  ;
- (2)  $f_1, \dots, f_s$  sont en involution ;

Soient  $\Sigma_{\mathbf{F}}$  l'ouvert dense sur lequel  $f_1, \dots, f_s$  sont indépendantes et  $\Sigma$  l'ouvert sur lequel le rang de  $P$  est  $2r$ . Sur l'ouvert dense  $\Sigma \cap \Sigma_{\mathbf{F}}$  les fonctions  $f_1, \dots, f_s$  définissent un feuilletage régulier  $\mathcal{T}$  et l'intersection de  $\mathcal{T}$  avec chaque feuille symplectique définit un feuilletage Lagrangien (cf. [LMV11]). En fait un tel feuilletage  $\mathcal{T}$  est une polarisation de variété de Poisson sur  $\Sigma \cap \Sigma_{\mathbf{F}}$  c'est-à-dire la donnée d'un feuilletage régulier  $\mathcal{T}$  tel que le feuilletage induit sur chaque feuille symplectique est Lagangien (cf. [AmAw04]). En effet, si l'on se donne un feuilletage régulier  $\mathcal{T}$  sur  $\Sigma \cap \Sigma_{\mathbf{F}}$  qui induit sur chaque feuille un feuilletage Lagrangien, alors, conformément au Théorème de Darboux généralisé (cf. [AMV04]), localement, il existe des fonctions  $f_1, \dots, f_s$  qui définissent ce feuilletage et qui satisfont aux conditions (1), (2) et (3).

En dimension infinie, une généralisation de l'intégrabilité au sens de Liouville pose de sérieux problèmes. En dimension finie cette notion est fortement liée au Théorème de Darboux et cordonnées "action-angle". En général dans un contexte de Banach, le Théorème de Darboux est vrai sur un espace de Banach réflexif pour une forme symplectic forte et, sous des hypothèses fortes, pour une forme symplectique faible (cf. [Bam99]). Par ailleurs, même dans ce cas strictement Banachique, la forme symplectique n'admet toujours pas localement de

feuilletages Lagrangiens transverses et n'admet pas de coordonnées locales de type "action-angle". Néanmoins, le lecteur intéressé trouvera dans [OdRa08b] une formulation analytique fonctionnelle pour l'intégrabilité des systèmes dynamiques semi-infinis de Toda.

Par contre, en dimension infinie, la notion de polarisation peut se définir comme suit :

**DÉFINITION 3.50.** Soit  $(T^b M, M, P, \{.,.\}_P)$  une structure de Poisson partielle sur une variété adaptée  $M$  dont la distribution caractéristique est **FSI**. On appelle polarisation locale de cette structure, sur un ouvert  $U$ , la donnée d'un sous fibré intégrable  $T^\tau M_U$  de  $T^b M$  tel que  $T_x^\tau M_U$  est une polarisation de l'espace linéaire de Poisson partiel  $(T_x M, T_x^b M, P_x)$  pour tout  $x \in U$  (cf. Définition 3.9). Une polarisation sur  $\Sigma$  sera appelée simplement une polarisation de  $(T^b M, M, P, \{.,.\}_P)$ .

**Exemple 3.51.** Variétés de Poisson de dimension finie.

Tout Hamiltonien intégrable sur une variété de dimension finie donne lieu à un feuilletage Lagrangien et donc à une polarisation. Plus généralement, conformément à l'introduction, tout système Hamiltonien intégrable sur une variété de Poisson de dimension finie donne lieu à une polarisation de cette variété de Poisson.

**Exemple 3.52.** Variété Hilbertienne symplectique partielle.

On considère une structure de variété Hilbertienne de Poisson symplectique partielle  $(T^b M, P, \{.,.\})$  dont la distribution caractéristique est fermée. Alors cette distribution est **FSI** et soit  $\Sigma$  l'ensemble de ses points réguliers. Chaque composante connexe  $N$  de  $\Sigma$ , est munie d'une forme symplectique faible  $\Omega$  et vérifie donc localement les hypothèses du théorème de Darboux-Bambusi (cf. [Bam99], [Pel18]). Par suite, au voisinage de chaque point  $x \in N$ , il existe une carte  $(U, \psi)$  telle que  $(\psi^{-1})^* \Omega$  est la restriction à  $\Psi(U)$  de la forme symplectique linéaire  $\omega := (\psi^{-1})^*(\Omega_x)$  faible sur un espace de Hilbert  $\mathbb{M}$ . Mais comme  $P_x(T^b M)$  est fermé dans  $T_x M$ , cela implique que  $\omega$  est une forme linéaire symplectique forte. D'après [Wei71], nous avons une décomposition  $\mathbb{M} = \mathbb{L} \oplus \mathbb{L}^*$  où  $\mathbb{L}$  est un espace Lagrangien pour  $\Omega$ . Comme  $T\psi(TM|_U) = U \times \mathbb{M}$ , cela implique qu'il existe un feuilletage Lagrangien  $\mathcal{T}$  sur  $U$ . Par suite  $\mathcal{T}$  est une polarisation locale de  $N$ . De plus, supposons que  $\mathbb{M}$  est séparable. Il en est de même pour  $\mathbb{L}$ . Considérons une base orthogonale  $\{e_n\}_{n \in \mathbb{N}}$  et si  $\{e_n^*\}_{n \in \mathbb{N}}$  est la base duale, notons  $\phi_n(t, u) = e^*(u)$  la fonction linéaire associée à  $e_n^*$  sur  $U$ . Si  $f_n := \psi^* \phi_n$ , le fibré tangent à  $\mathcal{T}$  est alors l'intersection des noyaux  $\bigcap_{n \in \mathbb{N}} \ker df_n$  et on a évidemment  $\{f_n, f_m\}_P = 0$ . On peut considérer qu'on obtient une généralisation des conditions (1), (2), (3) sur  $U$  à ce contexte.

**Exemple 3.53.** Polarisation d'une structure de Poisson partielle associée à un algébroïde de Lie-Banach.

On considère un algébroïde Lie-Banach  $(E, M, \rho, [.,.]_E)$ . Supposons que  $\ker \rho_x$  soit scindé dans la fibre  $E_x$  pour tout  $x \in M$  et que l'image de  $\rho_x$  soit fermée.

Soit  $P : T^b E^* \rightarrow TE^*$  l'ancre de Poisson associée à cet algébroïde (cf. Exemple 3.27). Si pour tout  $x \in M$ , l'espace de Banach  $K_x := \{\xi \circ C_x(\mathbf{w}, \cdot), \mathbf{w} \in \ker \rho_x\}$  est scindé dans  $E_x^*$  alors la distribution caractéristique sur  $E^*$  associée à  $P$  est **FSI** (cf. Exemple 3.36). Comme pour tout couple  $(f, g)$  de fonctions de  $C^\infty(U)$ , on a  $\{f \circ \pi^*, g \circ \pi^*\}_P = 0$  et que pour  $U$  assez petit, nous avons

$$T_\sigma E^* \cap P(\{d_\sigma(f \circ \pi^*), f \in C^\infty(U)\}) = T_\sigma E^* \cap P(T_\sigma^b M)$$

il en résulte que le feuilletage de  $E^*$  défini par la fibration  $\pi^*$  est une polarisation de la structure de Poisson  $(T^b E^*, E^*, P, \{.,.\}_P)$ .

### 3.2.8 Processus de restriction

Le problème de restriction pour les variétés de Poisson partielle consiste en la recherche de sous-variétés immergées  $S$  de la variété de Banach  $M$  qui héritent d'une structure de variété de Poisson partielle.

On rappelle le résultat obtenu dans [MaMo84] et rappelé dans [MMR85] où l'on impose des conditions de compatibilité entre  $S$  et le tenseur de Poisson  $P$  qui lui confèrent une structure de variété de Poisson.

Pour ce faire, on introduit quelques notations ;

- $\mathfrak{X}(S, M)$  : algèbre des champs de vecteurs définis sur  $S$  à valeurs dans  $TM$  ;
- $\mathfrak{X}^*(S, M)$  : espace vectoriel des 1-formes différentielles définies sur  $S$  à valeurs dans  $T^*M$  ;
- $\mathfrak{X}(S)$  : algèbre des champs de vecteurs tangent à  $S$  ;
- $\mathfrak{X}(S)^{\text{ann}}$  ; annulateur de  $\mathfrak{X}(S)$ , i.e. ensemble des 1-formes appartenant à  $\mathfrak{X}^*(S, M)$  qui s'annulent sur  $\mathfrak{X}(S)$  ;
- $\mathfrak{X}_P^*(S)$  : sous-espace des 1-formes appartenant à  $\mathfrak{X}^*(S, M)$  dont l'image par  $P$  est un vecteur tangent à  $S$ .

Le couple  $(\check{M}, \iota : \check{M} \rightarrow M)$  où  $\iota$  est une immersion injective constitue une paramétrisation de la sous-variété immergée  $S = \iota(\check{M})$  de  $M$ .

Cette paramétrisation met en relation les champs de vecteurs et les 1-formes différentielles définies sur  $\check{M}$  avec les objets de même nature définis sur  $S$  :

$$\begin{aligned} X(\iota(\check{m})) &= d\iota(\check{m}) \cdot \check{X}(\check{m}) \\ \check{\alpha}(\check{m}) &= \delta\iota(\check{m}) \cdot \alpha(\iota(\check{m})). \end{aligned}$$

On obtient alors deux applications

$$d\iota : \mathfrak{X}(\check{M}) \rightarrow \mathfrak{X}(S, M) \text{ et } \delta\iota : \mathfrak{X}^*(S, M) \rightarrow \mathfrak{X}^*(\check{M}).$$

On notera que

- $d\iota$  est une application injective dont l'image est l'algèbre  $\mathfrak{X}(S)$  ;
- $\delta\iota$  est une application surjective telle que  $\ker \delta\iota = \mathfrak{X}(S)^{\text{ann}}$ .

On obtient alors le théorème suivant donnant des conditions suffisantes pour obtenir sur la sous-variété  $S$  une structure de variété de Poisson (cf. [MaMo84], Lemma 6.1 et [MMR85], Theorem 4.2 pour le cadre des variétés PN).

**THÉORÈME 3.54.** *Soit  $S$  une sous-variété immergée de la variété de Poisson  $M$  où  $S$  est paramétrée par  $(\check{M}, \iota : \check{M} \rightarrow M)$ .*

*Supposons que l'on ait*

$$\text{(RP 1)} \quad \mathfrak{X}_P^*(S) + \mathfrak{X}(S)^{\text{ann}} = \mathfrak{X}^*(S, M)$$

$$\text{(RP 2)} \quad \mathfrak{X}_P^*(S) \cap \mathfrak{X}(S)^{\text{ann}} \subset \ker P$$

*$S$  hérite alors une structure de variété de Poisson pour le tenseur*

$$\check{P} = d\iota^{-1} \circ P \circ \delta\iota|_{\mathfrak{X}_P^*(S)}^{-1}$$

*Démonstration.* Pour  $\alpha \in \mathfrak{X}(S)^{\text{ann}}$  et  $\check{X} \in \mathfrak{X}(\check{M})$ , on a

$$\langle \delta\iota(\alpha), \check{X} \rangle = \langle \alpha, d\iota(\check{X}) \rangle = 0$$

puisque  $d\iota(\check{X}) \in \mathfrak{X}(S)$ .

Ainsi

$$\delta\iota(\mathfrak{X}_P^*(S)) = \delta\iota(\mathfrak{X}_P^*(S) + \mathfrak{X}(S)^{\text{ann}})$$

D'après **(RP 1)**, on en déduit que

$$\begin{aligned} \delta\iota(\mathfrak{X}_P^*(S)) &= \delta\iota(\mathfrak{X}^*(S, M)) \\ &= \mathfrak{X}^*(\check{M}) \end{aligned}$$

la dernière égalité résultant de la surjectivité de  $\delta\iota$ . On obtient alors

$$\delta\iota(\mathfrak{X}_P^*(S)) = \mathfrak{X}^*(\check{M}).$$

Soient maintenant  $\alpha_1 \in \mathfrak{X}_P^*(S)$  et  $\alpha_2 \in \mathfrak{X}_P^*(S)$  telles que

$$\delta\iota(\alpha_1) = \delta\iota(\alpha_2) = \check{\alpha} \in \mathfrak{X}^*(\check{M}).$$

On en déduit trivialement que

$$\begin{cases} \alpha_2 - \alpha_1 \in \mathfrak{X}_P^*(S) \\ \alpha_2 - \alpha_1 \in \ker \delta\iota. \end{cases}$$

Puisque  $\ker \delta\iota = \mathfrak{X}(S)^{\text{ann}}$ , on en déduit d'après **(RP 2)** que  $\alpha_2 - \alpha_1 \in \ker P$  et ainsi  $P(\alpha_2) = P(\alpha_1) = \check{X} \in \mathfrak{X}(\check{M})$ .

On définit alors sans ambiguïté le tenseur restreint  $\check{P}$  où  $\check{P}(\check{\alpha}) = \check{X}$  par

$$\check{P} = d\iota^{-1} \circ P \circ \delta\iota|_{\mathfrak{X}_P^*(S)}^{-1}.$$

On vérifie que le tenseur  $\check{P}$  est un tenseur de Poisson.<sup>16</sup> □

---

<sup>16.</sup> [MaMo84], (6.14)



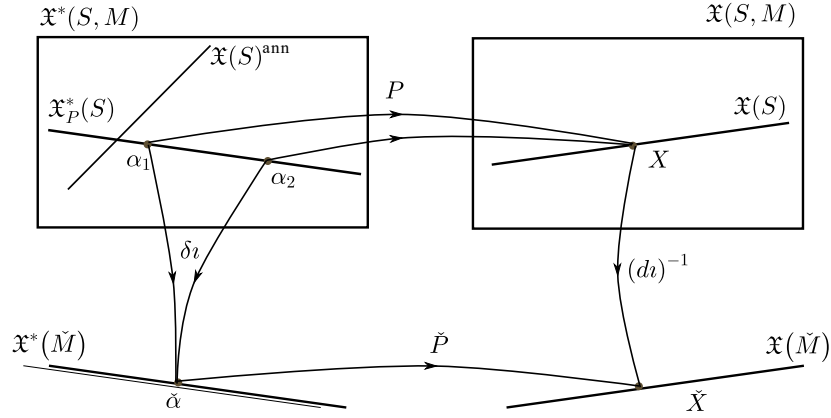


FIGURE 1 – Processus de restriction d’une variété de Poisson

Afin de généraliser le processus de réduction aux variétés de Poisson partielles, on considère une variété  $(M, \mathfrak{A}(M), \{.,.\}_P)$  de ce type associée au morphisme  $P : T^b M \rightarrow TM$  et on introduit les notations suivantes :

- $\mathfrak{X}^b(S, M)$  : espace vectoriel des 1-formes différentielles définies sur  $S$  à valeurs dans  $T^b M$  ;
- $\mathfrak{X}^b(S)^{\text{ann}}$  ; annulateur partiel de  $\mathfrak{X}(S)$ , i.e. ensemble des 1-formes appartenant à  $\mathfrak{X}^b(S, M)$  qui s’annulent sur  $\mathfrak{X}(S)$  ;
- $\mathfrak{X}_P^b(S)$  : sous-espace des 1-formes appartenant à  $\mathfrak{X}^b(S, M)$  dont l’image par  $P$  est un vecteur tangent à  $S$ .

En adaptant la démonstration du théorème 3.54 à notre situation, on obtient

**THÉORÈME 3.55.** *Soit  $S$  une sous-variété immergée de la variété de Poisson partielle  $M$  où  $S$  est paramétrée par  $(\tilde{M}, \iota : \tilde{M} \rightarrow M)$ .*

*Supposons que l’on ait*

$$\text{(RpP 1)} \quad \mathfrak{X}_P^b(S) + \mathfrak{X}^b(S)^{\text{ann}} = \mathfrak{X}^b(S, M)$$

$$\text{(RpP 2)} \quad \mathfrak{X}_P^b(S) \cap \mathfrak{X}^b(S)^{\text{ann}} \subset \ker P$$

*$S$  hérite alors une structure de variété de Poisson partielle pour le tenseur*

$$\tilde{P} = d\iota^{-1} \circ P \circ \delta\iota|_{\mathfrak{X}_P^b(S)}$$

### 3.2.9 Processus de projection

Le problème de projection est de déterminer les distributions intégrables  $\mathcal{D}$  d’une variété de Poisson  $M$  pour lesquelles la variété quotient  $M/\mathcal{D}$  hérite d’une structure de variété de Poisson.

On se réfère à nouveau au document [MaMo84] et à l’article [MMR85].

Soit  $(\tilde{M}, j : M \rightarrow \tilde{M})$  une paramétrisation de  $M/\mathcal{D}$  où  $\tilde{M}$  est la variété de paramétrisation et où  $j : M \rightarrow \tilde{M}$  est une submersion surjective telles que les feuilles

de la distribution sont les fibres de la submersion.

Un champ de vecteurs  $X$  est dit *projetable* si pour tout couple  $(x_1, x_2)$  de points de la même feuille, on a :

$$dj(x_1).X(x_1) = dj(x_2).X(x_2)$$

Un champ de vecteurs projetable définit alors un unique champ de vecteurs  $\check{X}$  sur  $\check{M}$  par

$$\check{X}(j(x)) = dj(x).X(x)$$

appelé *projeté* de  $X$  sur  $\check{M}$ .

Une forme différentielle  $\alpha$  est dite *projetable* s'il existe une forme différentielle  $\check{\alpha} \in \mathfrak{X}^*(\check{M})$  telle que pour point  $x$  de  $M$ , on ait :

$$\alpha(x) = \delta j(x).\check{\alpha}(j(x)).$$

On introduit alors les notations

- $\mathfrak{X}_{\mathcal{D}}(M)$  : sous-espace vectoriel des champs de vecteurs projetables ;
- $\mathfrak{X}_{\mathcal{D}}^*(M)$  : sous-espace vectoriel des formes différentielles projetables.

On obtient alors le résultat suivant (cf. [MaMo84], Lemma 7.1).

**THÉORÈME 3.56.** *Soit  $\mathcal{D}$  une distribution intégrable d'une variété de Poisson partielle  $M$ . Supposons que les feuilles soient connexes et que l'espace quotient  $M/\mathcal{D}$  soit une variété quotient  $\check{M}$  où la projection canonique  $j : M \rightarrow \check{M}$  est une submersion surjective. Si*

$$\text{(PpP)} \quad P(\mathfrak{X}_{\mathcal{D}}^*(M)) \subset \mathfrak{X}_{\mathcal{D}}(M)$$

*alors  $\check{M}$  hérite de  $M$  d'une structure de variété de Poisson partielle définie par le tenseur*

$$\check{P} = dj \circ P \circ \delta j.$$

## 4 Couple de variétés hamiltoniennes partielles compatibles

La notion fondamentale de structure bihamiltonienne pour les systèmes dynamiques a été introduite en 1978 par F. Magri dans [Mag78]. Du point de vue géométrique, ceci correspond à l'existence de deux structures de Poisson liées par un opérateur de récursion permettant de générer une suite d'intégrales premières.

Les structures de Poisson mises en jeu peuvent être définies à l'aide d'un morphisme antisymétrique  $P$  du fibré cotangent  $T^*M$  dans le fibré tangent  $TM$ . Ce morphisme est associé à un crochet  $\{.,.\}$  sur l'ensemble  $C^\infty(M)$  des fonctions lisses sur la variété, i.e. une application bilinéaire antisymétrique  $C^\infty(M) \times C^\infty(M) \rightarrow C^\infty(M)$  qui satisfait à la fois les identités de Jacobi et de Leibniz.

Dès le cadre d'espaces de Banach non réflexifs, le morphisme  $P$  n'est défini que sur un sous-fibré faible  $T^b M$  de  $T'M$ , cette situation étant liée, comme introduit par A. Odziejewicz et T. Ratiu dans [OdRa03], à un crochet sur une sous-algèbre de  $C^\infty(M)$ . On est alors en présence de structures de Poisson partielles.

On est alors amené naturellement à étudier les notions de structures bi-hamiltoniennes partielles. On se focalise ici, dans le cadre  $c^\infty$ -complet sur des variétés :

- de type PQ correspondant à un couple  $(P, Q)$  de deux structures de Poisson partielles définies sur le même  $T^b M$  compatibles, i.e.  $P + Q$  est encore une structure de même type ;
- de type PN correspondant à la donnée d'un tenseur de Poisson  $P : T^b M \rightarrow TM$  et d'un opérateur de Nijenhuis  $N$  vérifiant une condition de compatibilité avec  $P$  ;
- $P\Omega$  correspondant à la donnée d'un tenseur de Poisson  $P : T^b M \rightarrow TM$  et d'une forme symplectique faible  $\Omega : TM \rightarrow T'M$  à valeurs dans  $T^b M$  vérifiant la condition de compatibilité  $d(\Omega P \Omega) = 0$ .

Ces notions sont illustrées par de nombreux exemples tant en dimension finie qu'infinie.

$M$  désigne une variété adaptée (ou  $c^\infty$ -complète) modélée sur l'espace vectoriel adapté  $\mathbb{M}$ ,  $p_M : TM \rightarrow M$  son fibré tangent cinématique et  $p'_M : T'M \rightarrow M$  son fibré cotangent cinématique.

## 4.1 Variétés PQ partielles

**DÉFINITION 4.1.** Soit  $p^b : T^b M \rightarrow M$  un sous-fibré faible de  $p'_M : T'M \rightarrow M$ . Soient deux ancres de Poisson partielles  $P : T^b M \rightarrow TM$  et  $Q : T^b M \rightarrow TM$ .  $M$  est dite variété PQ partielle si la somme des ancres  $P + Q : T^b \rightarrow TM$  est encore une ancre de Poisson partielle. Dans ce cas, les deux ancres de Poisson sont dites compatibles.

Soient  $\tilde{P}$  et  $\tilde{Q}$  les tenseurs antisymétriques associés à des quasi-ancres de Poisson  $P$  et  $Q$  respectivement. Alors le crochet de Schouten  $[\tilde{P}, \tilde{Q}]$  est bien défini (cf. [CaPe1], Chapitre 7, Définition 7.50) et comme que le degré de  $\tilde{P}$  et  $\tilde{Q}$  est 2, d'après le Théorème 7.51 (2), le crochet de Schouten  $[\tilde{P}, \tilde{Q}]$  est symétrique.

**THÉORÈME 4.2.** Deux ancres de Poisson partielles  $P : T^b M \rightarrow TM$  et  $Q : T^b M \rightarrow TM$  sont compatibles si et seulement si le crochet de Schouten  $[\tilde{P}, \tilde{Q}]$  est nul.

*Démonstration.* Soient  $P : T^b M \rightarrow TM$  et  $Q : T^b M \rightarrow TM$  deux ancres de Poisson.

Puisque le crochet de Schouten est bilinéaire symétrique en degré 2 (comme on

l'a déjà vu avant l'énoncé du Théorème), on a :

$$[\tilde{P} + \tilde{Q}, \tilde{P} + \tilde{Q}] = [\tilde{P}, \tilde{P}] + 2[\tilde{P}, \tilde{Q}] + [\tilde{Q}, \tilde{Q}]. \quad (4.1)$$

Le fait que  $P$  et  $Q$  soient des ancrés de Poisson se traduit, d'après la relation (3.8) et le théorème 3.19 on a  $[\tilde{P}, \tilde{P}] = [\tilde{Q}, \tilde{Q}] = 0$ . La compatibilité de  $P$  et de  $Q$  se traduit pour les mêmes raisons par  $[\tilde{P} + \tilde{Q}, \tilde{P} + \tilde{Q}] = 0$ . Le résultat découle alors de la formule (4.1).  $\square$

#### 4.1.1 Exemples de variétés de Poisson partielles compatibles

**Exemple 4.3.** Crochets de Poisson compatibles sur le dual d'une algèbre de Banach Lie-Poisson non nécessairement réflexive

Les crochets  $\{.,.\}_{\text{LP}}$  (structure linéaire de Lie-Poisson) et  $\{.,.\}_{m_0}$  sur le dual  $\mathfrak{g}^*$  de l'algèbre de Lie de Banach non nécessairement réflexive  $\mathfrak{g}$  donnés à l'exemple 3.28 sont compatibles car leur somme n'est autre que le crochet  $\{.,.\}_{\text{LP}}$  translaté de l'origine à  $-m_0$ .

$\mathfrak{g}^*$  munies des ancrés associées à ces deux crochets est une variété PQ partielle.

**Exemple 4.4.** Limite directe de structures de Banach-Poisson compatibles.

On se réfère à l'exemple 3.30 et on considère deux suite directes  $(T^b M_i, P_i, \{.,.\}_{P_i})_{i \in \mathbb{N}}$  et  $(T^b M_i, Q_i, \{.,.\}_{Q_i})_{i \in \mathbb{N}}$  de structures de Banach-Poisson partielles.

Les relations (1) et (3) sont trivialement vérifiées. En ce qui concerne la relation (2), pour  $\alpha_i \in T_{x_i}^b M_i$ , on pose  $X_i = P_i(\alpha_i)$  et  $Y_i = Q_i(\alpha_i)$ ; on a par linéarité  $T\varepsilon_i^{i+1}(X_i + Y_i) = T\varepsilon_i^{i+1}(X_i) + T\varepsilon_i^{i+1}(Y_i)$  ou encore

$$T\varepsilon_i^{i+1} \circ (P_i(\alpha_i) + Q_i(\alpha_i)) = T\varepsilon_i^{i+1} \circ P_i(\alpha_i) + T\varepsilon_i^{i+1} \circ Q_i(\alpha_i).$$

Puisque  $\alpha_i = T^* \varepsilon_i^{i+1}(\alpha_{i+1})$ , on en déduit que

$$\begin{aligned} & T\varepsilon_i^{i+1} \circ (P_i(T^* \varepsilon_i^{i+1}(\alpha_{i+1})) + Q_i(T^* \varepsilon_i^{i+1}(\alpha_{i+1}))) \\ &= T\varepsilon_i^{i+1} \circ P_i(T^* \varepsilon_i^{i+1}(\alpha_{i+1})) + T\varepsilon_i^{i+1} \circ Q_i(T^* \varepsilon_i^{i+1}(\alpha_{i+1})) \end{aligned}$$

ce qui donne

$$\begin{aligned} & T\varepsilon_i^{i+1} \circ ((P_i + Q_i)(T^* \varepsilon_i^{i+1}(\alpha_{i+1}))) \\ &= T\varepsilon_i^{i+1} \circ P_i(T^* \varepsilon_i^{i+1}(\alpha_{i+1})) + T\varepsilon_i^{i+1} \circ Q_i(T^* \varepsilon_i^{i+1}(\alpha_{i+1})) \end{aligned}$$

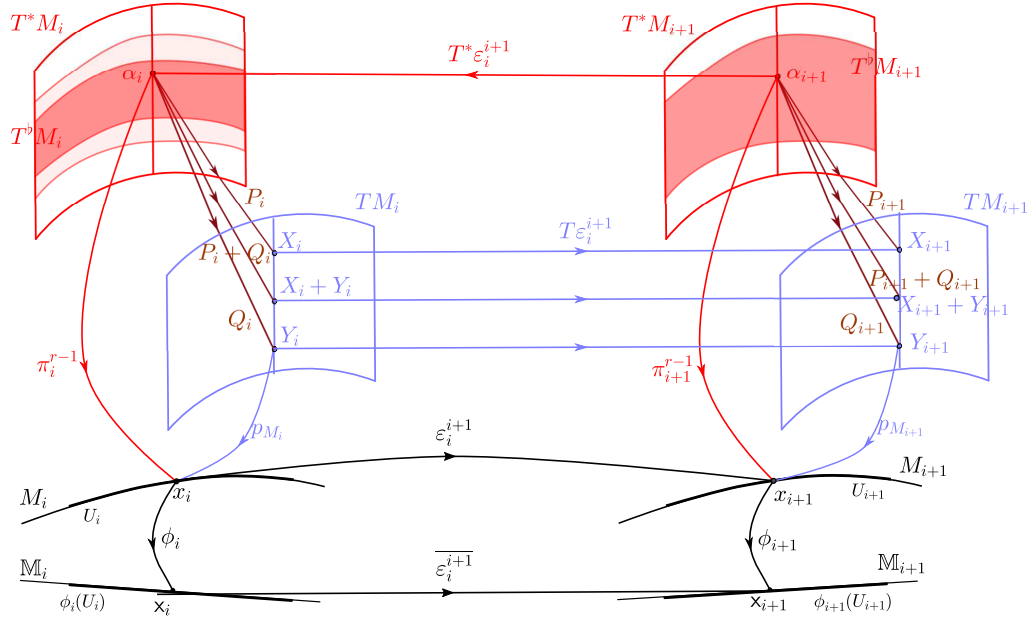
ou encore

$$T\varepsilon_i^{i+1} \circ (P_i + Q_i) \circ T^* \varepsilon_i^{i+1} = T\varepsilon_i^{i+1} \circ P_i \circ T^* \varepsilon_i^{i+1} + T\varepsilon_i^{i+1} \circ Q_i \circ T^* \varepsilon_i^{i+1}.$$

On obtient finalement en utilisant la relation (2) pour  $P_i$  et  $Q_i$  au second membre :

$$T\varepsilon_i^{i+1} \circ (P_i + Q_i) \circ T^* \varepsilon_i^{i+1} = P_{i+1} + Q_{i+1}.$$

Il existe alors un sous fibré faible  $p^b : T^b M \rightarrow M$  de  $p'_M : T^b M \rightarrow M$ , où  $M = \varinjlim M_i$  est une variété adaptée, et un morphisme  $P + Q : T^b M \rightarrow TM$  (où  $P$  et  $Q$  sont obtenus ainsi qu'à l'exemple 4.4) tel que  $(M, \mathfrak{A}_{P+Q}(M), \{.,.\}_{P+Q})$  est une structure de Poisson partielle et ainsi  $M$  est une variété PQ partielle.



Suite directe de structures partielles de Banach-Poisson compatibles

#### 4.1.2 Famille de crochets d'une variété PQ partielle

Soient  $P : T^bM \rightarrow TM$  et  $Q : T^bM \rightarrow TM$  deux ancres de Poisson compatibles. On considère pour  $\lambda \in [0, +\infty[\cup\{\infty\}]$  l'application  $P_\lambda = P + \lambda Q : T^bM \rightarrow TM$  où  $P_\infty = Q$ . Pour  $\lambda$  quelconque dans  $[0, +\infty[\cup\{\infty\}]$ , le morphisme  $P_\lambda = P + \lambda Q$  est aussi une ancre de Poisson.

Par le même type de raisonnement que dans la preuve du Théorème 4.2 on obtient :

**PROPOSITION 4.5.** *Soient  $P : T^bM \rightarrow TM$  et  $Q : T^bM \rightarrow TM$  deux ancres de Poisson compatibles. Alors  $P_\lambda$  est une ancre de Poisson pour tout  $\lambda \in [0, +\infty[\cup\{\infty\}]$ .*

#### 4.1.3 Distributions caractéristiques associées

Considérons  $p^b : T^bM \rightarrow M$  un sous-fibré faible de  $p'_M : T'M \rightarrow M$  au dessus de la variété de Banach  $M$ .

Soient deux ancres de Poisson partielles  $P : T^bM \rightarrow TM$  et  $Q : T^bM \rightarrow TM$  compatibles.

Soit pour  $\lambda \in [0, +\infty[\cup\{\infty\}]$  on pose  $P_\lambda = P + \lambda Q : T^bM \rightarrow TM$  où  $P_\infty = Q$ . Même si la distribution caractéristique de  $P$  et  $Q$  vérifie la propriété **FSI**, en général, la distribution caractéristique de  $P_\lambda$  ne vérifie la propriété **FSI** même dans le contexte Banachique. En effet, par exemple si  $T$  et  $S$  sont deux opéra-

teurs linéaires d'un espace Banach  $\mathbb{E}$  dans un espace de Banach  $\mathbb{F}$  avec noyau scindé, en général le noyau de  $T + \lambda S$ , pour tout  $\lambda \in [0, +\infty[$  n'est pas scindé. Il en résulte que les hypothèses du Théorème 3.31 ne sont pas satisfaites en général pour  $P_\lambda$  pour  $\lambda \in [0, +\infty[$ .

Soit  $\mathfrak{F}(\mathbb{E}, \mathbb{F})$  (resp.  $\mathfrak{F}_+(\mathbb{E}, \mathbb{F})$ ) l'ensemble des opérateurs Fredholm (resp. semi-Fredholm supérieurs) d'un espace de Banach  $\mathbb{E}$  dans un espace de Banach  $\mathbb{F}$ <sup>17</sup>. Rappelons que l'ensemble  $\mathfrak{F}(\mathbb{E}, \mathbb{F})$  (resp.  $\mathfrak{F}_+(\mathbb{E}, \mathbb{F})$ ) est ouvert dans l'ensemble  $\mathcal{L}(\mathbb{E}, \mathbb{F})$  des opérateurs continus de  $\mathbb{E}$  dans  $\mathbb{F}$  (cf. [Mul07], Théorème 16.17 et Corollaire 18.2). Par suite, si  $T$  est un opérateur de Fredholm (resp. semi-Fredholm supérieur), pour tout opérateur continu  $S$ , il existe  $\varepsilon > 0$  tel que, pour tout  $\lambda \in [0, \varepsilon[$ ,  $T + \lambda S$  est Fredholm (resp. semi-Fredholm supérieur). Par suite, si  $P$  est une ancre de Poisson partielle qui est un opérateur de Fredholm (resp. semi-Fredholm supérieur) en restriction à chaque fibre alors les hypothèses du Théorème 3.31 sont satisfaites pour  $\lambda$  assez petit. *Malheureusement cet ensemble n'est pas fermé et on ne peut pas utiliser un argument de connexité dans ce cadre.* Néanmoins, nous avons :

**THÉORÈME 4.6.** *Soient deux ancres de Poisson partielles  $P : T^b M \rightarrow TM$  et  $Q : T^b M \rightarrow TM$  compatibles sur une variété adaptée  $M$ . Alors la distribution caractéristique  $\mathcal{D}_{P_\lambda}$  est **FSI** dans les situations suivantes*

- (1)  *$M$  est une variété Banachique et  $P_x : T_x^b M \rightarrow T_x M$  appartient à  $\mathfrak{F}(T_x^b M, T_x M)$  et  $Q_x$  est un opérateur de rang fini pour tout  $x \in M$ .*
- (2)  *$M$  est une variété Banachique et  $P_x : T_x^b M \rightarrow T_x M$  appartient à  $\mathfrak{F}_+(T_x^b M, T_x M) \setminus \mathfrak{F}(T_x^b M, T_x M)$  pour tout  $x \in M$*
- (3)  *$M = \varinjlim M_i$ <sup>18</sup> où  $(T^b M_i, P_i, \{\cdot, \cdot\}_{P_i})_{i \in \mathbb{N}}$  et  $(T^b M_i, Q_i, \{\cdot, \cdot\}_{Q_i})_{i \in \mathbb{N}}$  sont deux suites directes de structures de Banach-Poisson partielles telles que, pour tout  $i \in \mathbb{N}$ ,  $P_i$  et  $Q_i$  vérifient les hypothèses de la situation (1) ou de la situation (2).*

*Démonstration.* Dans la situation (1), d'après le Théorème de Kato (cf. [Kat58]), pour tout opérateur compact  $K : \mathbb{E} \rightarrow \mathbb{F}$ , si  $T \in \mathfrak{F}(\mathbb{E}, \mathbb{F})$ , alors  $T + K \in \mathfrak{F}(\mathbb{E}, \mathbb{F})$ . Comme  $\lambda K$  est un opérateur compact pour tout  $\lambda \in [0, \infty[$ , il s'ensuit que  $T + \lambda K \in \mathfrak{F}(\mathbb{E}, \mathbb{F})$ . Mais l'image d'un opérateur compact n'est pas fermée s'il n'est pas de rang fini. Pour que les hypothèses du Théorème 3.31 soient vérifiées pour  $\lambda = \infty$ , il faut donc que  $Q_x$  soit de rang fini. Dans ce cas ce théorème s'applique à chaque  $P_\lambda$  pour  $\lambda \in [0, \infty[\cup\{\infty\}$  ce qui prouve (1).

Dans la situation (2) bien que  $\mathfrak{F}_+(\mathbb{E}, \mathbb{F})$  ne soit pas fermé, compte tenu de la preuve du Corollaire 18.2 de [Mul07], l'ensemble  $\mathfrak{F}_+(\mathbb{E}, \mathbb{F}) \setminus \mathfrak{F}(\mathbb{E}, \mathbb{F})$  est fermé dans  $\mathcal{L}(\mathbb{E}, \mathbb{F})$ . Pour  $x \in M$  fixé, si  $P_x \in \mathfrak{F}_+(T_x^b M, T_x M) \setminus \mathfrak{F}(T_x^b M, T_x M)$ , nous avons vu qu'il existe  $\varepsilon > 0$  tel que  $P_x + \lambda Q_x \in \mathfrak{F}_+(T_x^b M, T_x M)$ . Comme  $\mathfrak{F}_+(\mathbb{E}, \mathbb{F}) \setminus \mathfrak{F}(\mathbb{E}, \mathbb{F})$

17. Un opérateur continu  $T : E \rightarrow F$  est un opérateur *semi-Fredholm supérieur* si son noyau est de dimension finie et si son image est fermée. Si, de plus, son image est de codimension finie alors  $T$  est *Fredholm*. En particulier,  $\mathfrak{F}(\mathbb{E}, \mathbb{E}) \subset \mathfrak{F}_+(\mathbb{E}, \mathbb{E})$ .

L'*indice* d'un opérateur de Fredholm  $T$  est défini par  $\text{ind } T = \dim(\ker T) - \text{codim}(\text{im } T)$ .

18. dans le contexte de l'Exemple 4.4.

est fermé,  $\{\lambda \in [0, \varepsilon[ : P_x + \lambda Q_x \in \mathfrak{F}_+(T_x^b M, T_x M) \setminus \mathfrak{F}(T_x^b M, T_x M)\}$  est fermé et

$$\exists \lambda_0 \in [0, \varepsilon[ : \forall \lambda \in [0, \lambda_0], P_x + \lambda Q_x \in \mathfrak{F}_+(T_x^b M, T_x M) \setminus \mathfrak{F}(T_x^b M, T_x M).$$

De plus, puisque  $\mathfrak{F}(\mathbb{E}, \mathbb{F})$  est ouvert, il existe un intervalle  $] \lambda_0, \lambda_1[ \subset [0, \varepsilon[$  tel que, sur cet intervalle,  $P_x + \lambda Q_x \in \mathfrak{F}(T_x^b M, T_x M)$ . Mais alors, pour toute suite  $\lambda_n \in ] \lambda_0, \lambda_1[$  qui converge vers  $\lambda_0$  la suite d'opérateurs  $(P_x + \lambda_n Q_x)$  converge vers  $P_x + \lambda_0 Q_x$ . Comme l'indice des opérateurs de Fredholm est constant sur chaque composante connexe de  $\mathfrak{F}(T_x^b M, T_x M)$ , il en résulte que l'indice de l'opérateur  $P_x + \lambda_0 Q_x$  est fini et donc ne peut pas appartenir à  $\mathfrak{F}_+(T_x^b M, T_x M) \setminus \mathfrak{F}(T_x^b M, T_x M)$  d'où une contradiction.

Cela implique donc que  $P_x + \lambda Q_x$  appartient à  $\mathfrak{F}_+(T_x^b M, T_x M) \setminus \mathfrak{F}(T_x^b M, T_x M)$  pour tout  $\lambda \in [0, \varepsilon[$  et comme cet ensemble est fermé, le résultat est encore vrai pour  $\lambda \in [0, \varepsilon]$ . Le même type de raisonnement permet de montrer que l'ensemble des  $\lambda \in [0, \infty[$  tel que  $P_x + \lambda Q_x$  appartient à  $\mathfrak{F}_+(T_x^b M, T_x M) \setminus \mathfrak{F}(T_x^b M, T_x M)$  est à la fois ouvert et fermé. Par connexité, cette propriété est donc vraie pour tout  $\lambda \in [0, \infty[$ .

Par suite, on peut donc appliquer le Théorème 3.31 à chaque  $P_\lambda$  pour  $\lambda \in [0, \infty[ \cup \{\infty\}$ .

Dans la situation (3), en se référant au contexte de l'Exemple 4.4, on applique le Théorème 3.33.  $\square$

**REMARQUE 4.7.** *Étant données deux structures de Poissons compatibles  $P$  et  $Q$  sur une variété  $M$  de dimension finie, certains auteurs considèrent un faisceau de type  $\lambda P + \mu Q$  à deux paramètres réels  $(\lambda, \mu) \in \mathbb{R} \setminus \{(0, 0)\}$ . Si  $P$  et  $Q$  sont des ancres de Poisson partielles sur une variété adaptée  $M$ , on pourrait aussi définir une ancre de Poisson partielle à deux paramètres  $\lambda P + \mu Q$  sur  $M$ . Mais pour  $\lambda \neq 0$  (resp.  $\mu \neq 0$ ) le faisceau  $\lambda P + \mu Q$  a les mêmes propriétés que  $P + \frac{\mu}{\lambda} Q$  (resp.  $P + \frac{\lambda}{\mu} Q$ ). En fait, si  $P$  et  $Q$  sont compatibles, le même type de raisonnement que dans le paragraphe 4.1.2 entraîne que, pour tout  $(\lambda, \mu) \in \mathbb{R} \setminus \{(0, 0)\}$ ,  $\lambda P + \mu Q$  est aussi une ancre de Poisson partielle sur  $M$ . A noter que les mêmes types de raisonnement que dans la preuve du Théorème 4.6 permet de montrer que dans les mêmes situations la distribution caractéristique de  $\lambda P + \mu Q$  est aussi **FSI** pour tout  $(\lambda, \mu) \in \mathbb{R} \setminus \{(0, 0)\}$ .*

**Exemple 4.8.** Suite croissante de variétés de Poisson compatibles de dimension finie.

Si  $(T^b M_i, P_i, \{., .\}_i)_{i \in \mathbb{N}}$  et  $(T^b M_i, Q_i, \{., .\}_i)_{i \in \mathbb{N}}$  est une suite croissante de variétés de Poisson compatibles, alors pour tout entier  $i$ , les situations (1) et (2) du Théorème 4.6 sont vérifiées et ainsi la situation (3) est aussi vérifiée. Ainsi sur  $M = \varinjlim M_i$ , on a un faisceau  $P_\lambda$  de structures de Poisson partielles dont la distribution caractéristique est **FSI**.

**Exemple 4.9.** Faisceaux d'ancres de Poisson partielles associé à une déformation d'algébroides de Lie.

Rappelons qu'une déformation d'un algébroïde de Lie  $(E, M, \rho, [\cdot, \cdot]_E)$  est la donnée d'une famille à un paramètre  $\{(E, M, \rho_\lambda, [\cdot, \cdot]_\lambda)\}_{\lambda \in [0, \infty[}$  de structure d'algébroïdes sur  $E$  telle que  $[\cdot, \cdot]_0 = [\cdot, \cdot]_E$  (cf. [CrMo08]). Cette définition s'étend naturellement aux algébroïdes adaptés. Par ailleurs, un tenseur  $N$  de  $E$  de type  $(1, 1)$  est un tenseur de Nijenhuis si

$$T(N)(s, s') := [Ns, Ns']_E - N[Ns, s']_E - N[s, Ns']_E + N^2[s, s']_E = 0$$

où  $T(N)$  est la torsion de  $N$  (cf. 4.2.1).

Dans ces conditions, comme en dimension finie, on peut définir une structure d'algébroïde de Lie  $(E, M, \rho_N := \rho \circ N, [\cdot, \cdot]_N)$  où

$$[s, s']_N := [Ns, s']_E + [s, Ns']_E - [Ns, s']_E.$$

(cf. [CrFe11] par exemple). On pose  $N_\lambda = \text{Id} + \lambda N$  pour tout  $\lambda \in [0, \infty[$ . Considérons le crochet  $[s, s']_{N_\lambda}$ . Comme  $T(N_\lambda)(s, s') = 0$  pour tout  $\lambda \in [0, +\infty[$ , il en résulte que  $(E, M, \rho_{N_\lambda}, [\cdot, \cdot]_{N_\lambda})$  est un algébroïde de Lie. Soit  $P$  (resp.  $P_N$ ) l'ancre de Poisson sur  $T^b E^*$  associée à la structure d'algébroïde de Lie  $(E, M, \rho, [\cdot, \cdot]_E)$  (resp.  $(E, M, \rho_N, [\cdot, \cdot]_N)$ ). Alors  $P_\lambda = P + \lambda P_N$ ,  $\lambda \in [0, \infty[ \cup \{\infty\}$  est un faisceau d'ancres de Poisson sur  $T^b E^*$ . En particulier, si la fibre  $\mathbb{E}$  de  $E$  est un espace de Hilbert ou si  $N$  et  $P$  sont des opérateurs semi-Fredholm alors la distribution caractéristique de  $P_\lambda$  est **FSI**.

#### 4.1.4 Fonctions de Casimir et chaîne de Magri-Lénard

Soit pour  $\lambda \in [0, +\infty[ \cup \{\infty\}$ , l'ancre de Poisson  $P_\lambda = P + \lambda Q$  où  $P : T^b M \rightarrow TM$  et  $Q : T^b M \rightarrow TM$  sont deux ancres de Poisson compatibles. Pour tout  $\lambda, \in [0, +\infty[ \cup \{\infty\}$ , considérons le faisceau associé  $P_\lambda$ . On suppose dans ce paragraphe que la distribution caractéristique  $\mathcal{D}_{P_\lambda}$  de  $P_\lambda$  est **FSI** et supplémentée<sup>19</sup>, et on note  $\Sigma_\lambda$  l'ouvert dense sur lequel cette distribution est maximale.

**PROPOSITION 4.10.** *Pour tout  $x_0 \in \Sigma_\lambda$ , sous les hypothèses précédentes, il existe un voisinage  $I \times U \subset \mathbb{R} \times \Sigma_{\lambda_0}$  de  $(\lambda_0, x_0)$  tel que pour tout  $(\lambda, x) \in I \times U$  on a :*

*toute fonction Casimir  $f$  sur  $U$  pour  $P_{\lambda_0}$  s'étend en une fonction de Casimir  $f_\lambda$  de  $P_\lambda$  sur  $U$ , pour tout  $\lambda \in I$ .*

*Démonstration.* Sur chaque composante connexe de  $\Sigma_\lambda$  la distribution caractéristique  $\mathcal{D}_{P_\lambda}$  définit un sous fibré intégrable  $E_\lambda$  sur  $\Sigma_\lambda$  dont chaque feuille est symplectique. Fixons  $x_0 \in \Sigma_{\lambda_0}$ . Puisque l'application  $\lambda \mapsto P_\lambda$  est linéaire, il existe un voisinage  $I$  de  $\lambda_0$  tel que  $x_0$  appartient à  $\Sigma_\lambda$  pour tout  $\lambda \in I$ . Par ailleurs, pour  $\lambda_0$  fixé, il existe une décomposition  $\mathbb{M} = \mathbb{E} \times \mathbb{T}$  et une carte feuilletée  $(U, \psi)$  autour de  $x_0$ , c'est-à-dire que le feuilletage induit sur  $U$  est l'image réciproque du feuilletage trivial sur  $\mathbb{M}$  dont les feuilles sont du type  $\mathbb{E} \times \{t\}$  avec  $t \in \mathbb{T}$ . Sans perte de généralité, on peut supposer que  $M = U := V \times W \subset \mathbb{E} \times \mathbb{T}$ ,

<sup>19</sup>. cette dernière hypothèse est toujours vérifiée si  $\mathbb{E}$  est un espace de Hilbert et aussi dans les situations (2) et (3) du Théorème 4.6



$x_0 = (0, 0) \in \mathbb{E} \times \mathbb{T}$  et  $U$  est simplement connexe.

Puisque l'application  $\lambda \mapsto P_\lambda$  est linéaire, quitte à restreindre  $U$  et  $I$ , il en résulte que  $(\lambda, x) \mapsto \mathcal{D}_{P_\lambda}(x)$  est une application lisse  $I \times U$  dans la grassmannienne des sous espaces de  $\mathbb{M}$  isomorphes à  $\mathbb{E}$  et transverses à  $\{0\} \times \mathbb{T}$ . Cela implique que pour tout  $\lambda \in I$ , l'ouvert  $U$  est contenu dans  $\Sigma_\lambda$ . Comme  $U$  est simplement connexe, le fibré  $E_\lambda$  est trivialisable et, quitte à restreindre  $U$ , il existe une carte feuilletée  $(U, \Psi_\lambda)$  telle que si  $\mathbb{E}_\lambda$  est le sous espace  $\Psi_\lambda(0)$  alors le feuilletage symplectique associé à  $E_\lambda$  sur  $U$  est l'image inverse du feuilletage  $\{\mathbb{E}_\lambda \times \{t\}\}_{t \in \mathbb{T}}$ . D'autre part, pour chaque  $x = (u, t) \in V \times W$ , il existe une famille d'isomorphismes linéaires  $T_{(x, \lambda)}$  qui fixent  $\mathbb{T}$  et tels que  $T_{(x, \lambda)}(\mathbb{E}) = \mathbb{E}_\lambda$ . Dans ces mêmes conditions, si  $\mathbb{M}^b$  est la fibre type de  $T^bM$ , la restriction de  $T^bM$  à  $U$  est  $U \times \mathbb{M}^b \subset U \times (\mathbb{E}_\lambda^{\text{ann}} \times \mathbb{T}^{\text{ann}})$ . Comme  $T_{(x, \lambda)}(\mathbb{E}) = \mathbb{E}_\lambda$ , on a

$$P_\lambda(x) = T_{(x, \lambda)} \circ P_{\lambda_0} \circ T_{(x, \lambda)}^*. \quad (4.2)$$

Rappelons qu'une fonction admissible  $f$  est une fonction de Casimir pour  $P_\lambda$  si et seulement si sa différentielle appartient à  $\ker P_\lambda(x)$  (cf. § 3.2.6). Par suite de (4.2), il résulte que si  $d_x f$  appartient à  $\ker P_{\lambda_0}(x)$  alors  $d(f \circ T_{(x, \lambda)}^{-1})$  appartient à  $\ker P_\lambda(x)$ , ce qui achève la démonstration en prenant  $f_\lambda = f \circ T_{(x, \lambda)}^{-1}$ .  $\square$

*Envisageons le principe de construction d'une chaîne de récursion de Magri-Lenard.*

On considère, si elle existe, une fonction de Casimir  $H_\lambda$  associé à l'ancre  $P_\lambda$ . On a donc, pour toute fonction  $f \in \mathfrak{A}$ ,  $\{H_\lambda, f\} = 0$ .

Supposons que  $H_\lambda$  puisse être écrit sous forme d'une série

$$H_\lambda = H_0 + H_1\lambda + H_2\lambda^2 + \dots$$

En utilisant les même arguments qu'en dimension finie, on peut vérifier que  $H_0$  est une fonction de Casimir de  $P$  et que, pour tout entier naturel  $k$ , le champ de vecteurs Hamiltonien associé à  $H_{k+1}$  relativement à  $P$  coïncide avec le champ Hamiltonien associé à  $H_k$  relativement à  $Q$ .

De plus, tous les Hamiltoniens  $H_k$  sont en involution pour les crochets associés à  $P$  et  $Q$  et les champs de vecteurs Hamiltoniens associés commutent deux à deux.

**Exemple 4.11.** *On reprend les éléments de l'Exemple 4.3. On considère alors pour  $P$  le tenseur de Poisson constant associé au crochet  $\{.,.\}_{m_0}$  et pour  $Q$  le tenseur de Lie-Poisson associé au crochet  $\{.,.\}_{\text{LP}}$ .*

*Pour obtenir la fonction de Casimir  $H_\lambda$ , on choisit une fonction de Casimir  $H$  de la structure de Lie-Poisson et on utilise la méthode de translation de l'argument (cf. [Kole07], 4.5)*

$$H_\lambda(m) = H(m_0 + \lambda m).$$

*Cette technique peut être appliquée à l'équation de KdV vue comme système Hamiltonien sur le dual de l'algèbre de Virasoro (cf. [KhMi03]).*

#### 4.1.5 Fonctions de Casimir et feuilletages pour l'équation de KdV

Dans [KaMa98], Kappeler et Makarov font apparaître l'équation de KdV sur le cercle  $\mathbb{S}^1$  comme un système bihamiltonien sur la tour de Hilbert d'espaces de Sobolev  $(H_n(\mathbb{S}^1))$  où

$$H^n(\mathbb{S}^1) = \{q \in L^2(\mathbb{S}^1) : \forall k \in \{0, \dots, n\}, q^k \in L^2(\mathbb{S}^1)\}$$

L'opérateur

$$\begin{aligned} \partial_x : U \cap H_n &\longrightarrow \mathcal{L}(H_{n+1}, H_n) \\ q &\longmapsto (\partial_x)_q \end{aligned}$$

où  $U = H_0 = H^0(\mathbb{S}^1)$  correspond au premier tenseur de Poisson<sup>20</sup> qui admet pour fonction de Casimir la moyenne

$$A_1 : u \mapsto \int_{\mathbb{S}^1} u(x) dx$$

Les feuilles symplectiques pour le feuilletage correspondant sont alors données par les espaces affines

$$H_c^n(\mathbb{S}^1) = \{q \in H^n(\mathbb{S}^1) : A_n(q) = c\}$$

D'autre part, l'opérateur

$$\begin{aligned} L_n : U \cap H_n &\longrightarrow \mathcal{L}(H_{n+2}, H_{n-1}) \\ q &\longmapsto (L_n)_q \end{aligned}$$

correspond au second tenseur de Poisson pour cette EDP. Pour déterminer une fonction de Casimir pour ce second tenseur, on considère l'équation de Schrödinger

$$-y'' + qy = \lambda y$$

et l'on note, par abus,  $y_1(x, \lambda, q)$  et  $y_2(x, \lambda, q)$  les solutions fondamentales de cette équation.

Le discriminant correspondant est alors

$$\Delta(\lambda, q) = y_1(1, \lambda, q) + y_2'(1, \lambda, q)$$

---

20. L'équation de KdV

$$\partial_t u = -\partial_x^3 u + 6u\partial_x u$$

apparaît comme un *système complètement intégrable* au sens suivant : il existe une suite de variables action-angle et le système peut être linéarisé (cf. [Zub97] et [KoKu16]) :

$$\begin{cases} A_t &= 0 \\ I_t &= 0 \\ \phi_t &= \frac{\partial}{\partial I} K(I) \end{cases}$$

où  $K$  correspond à l'Hamiltonien.

Le lecteur trouvera dans [LMV11] un travail sur le théorème action-angle dans le contexte des systèmes intégrables sur des variétés de Poisson de dimension finie.

$A_2 : q \mapsto \Delta(0, q)$  est alors une fonction de Casimir pour cette seconde structure de Poisson.

Le feuilletage associé n'est pas régulier et admet des feuilles singulières qui peuvent être décrites à partir du spectre de l'opérateur  $-d_x^2 + q$  (cf. [KaMa98], Theorem 0.1).

## 4.2 Variétés PN partielles

La notion de variété PN introduite par Y. Kosmann-Schwarzbach et F. Magri dans [KSMag90] constitue le cadre naturel pour les systèmes Hamiltoniens intégrables, notamment sur les duaux d'algèbre de Lie. Ces systèmes peuvent être décrits *via* un champs de vecteurs  $X$  laissant invariant à la fois  $P$  et  $N$  :

$$L_X P = 0 \text{ et } L_X N = 0$$

### 4.2.1 Tenseur de Nijenhuis

La torsion d'un tenseur  $T(N)$  d'un tenseur  $N : \mathfrak{X}(M) \rightarrow \mathfrak{X}(M)$  de type  $(1, 1)$  sur la variété adaptée  $M$  est défini, comme dans [MaMo84], (2.6), pour tout couple  $(X, Y)$  par

$$T(N)(X, Y) = [NX, NY] - N([NX, Y] + [X, NY] - N[X, Y]) \quad (4.3)$$

Le tenseur  $N$  de type  $(1, 1)$  est appelé *tenseur de Nijenhuis* si  $T(N) = 0$ .

### 4.2.2 Variétés PN partielles adaptées

**DÉFINITION 4.12.** *Une variété PN partielle adaptée est une variété de Poisson partielle  $(M, \mathfrak{A}(M), \{., .\}_P)$  muni d'un tenseur de Nijenhuis  $N$  vérifiant les conditions*

$$\text{(pPN 1)} \quad N \circ P = P \circ N^t$$

$$\text{(pPN 2)} \quad R(P, N) = 0$$

où le concomitant  $R(P, N)$  est défini pour toute section  $\alpha \in \Gamma(T^b M)$  et tout champ de vecteurs  $X \in \text{im } P$  par<sup>21</sup>

$$R(P, N)(\alpha, X) = L_{P(\alpha)}(N)X - P(L_X(N^t\alpha)) + P(L_{NX}\alpha). \quad (4.4)$$

Si  $M$  est une variété PN alors  $P_1 = NP$  est un tenseur de Poisson couplé à  $N$ . En itérant le processus on obtient une suite  $(P_k)_{k \in \mathbb{N}^*}$  de tenseurs de Poisson (où  $P_k = N^k P$ ) en involution, i.e.  $[P_i, P_j] = 0$  en adaptant le résultat [MaMo84], B.3, iii).

<sup>21</sup>. cf. [MaMo84], (B.3.5) ou [MMR85], (2.5).

### 4.2.3 Exemples

**Exemple 4.13.** Variétés PN.

Les variétés PN de dimension finie ou encore modélées sur des espaces de Banach sont bien entendu des variétés PN partielles.

**Exemple 4.14.** Variétés PN partielles invariantes à droite sur un groupe de Lie.

La notion de structure PN invariante à droite sur un groupe de Lie  $G$  modélé sur une structure de Banach est défini de manière naturelle (cf. [RRH18]). Une structure PN partielle est obtenue en restreignant la fibre  $\mathfrak{g}^*$  du fibré cotangent  $T^*G$  à un sous-espace vectoriel de  $\mathfrak{g}^*$ .

### 4.2.4 Processus de restriction

On adapte le processus de restriction développé en 3.2.8 pour les variétés de Poisson partielles aux variétés PN partielles tout en conservant les notations introduites.

**THÉORÈME 4.15.** Soit  $S$  une sous-variété immergée de la variété PN partielle  $M$  où  $S$  est paramétrée par  $(\check{M}, \iota : \check{M} \rightarrow M)$ .

Supposons que soient vérifiées les relations **(RpP 1)** et **(RpP 2)** ainsi que

$$\text{(RpN)} \quad N(\mathfrak{X}(S)) \subset \mathfrak{X}(S)$$

$S$  hérite alors d'une structure de variété PN partielle pour les tenseurs

$$\check{P} = d\iota^{-1} \circ P \circ \delta\iota|_{\mathfrak{X}_P^b(S)}^{-1}$$

et

$$\check{N} = d\iota^{-1} \circ N \circ d\iota$$

On vérifie en sus que  $\check{N}$  est un tenseur de Nijenhuis<sup>22</sup> et que  $\check{P}$  et  $\check{N}$  sont compatibles<sup>23</sup>.

### 4.2.5 Processus de projection

On adapte ici le processus de projection développé en 3.2.9 pour les variétés de Poisson partielles aux variétés PN partielles tout en conservant les notations introduites.

**THÉORÈME 4.16.** Soit  $\mathcal{D}$  une distribution intégrable d'une variété PN partielle  $M$ . Supposons que les feuilles soient connexes et que l'espace quotient  $M/\mathcal{D}$  soit une variété quotient  $\check{M}$  où la projection canonique  $j : M \rightarrow \check{M}$  est une submersion surjective. Si la propriété **(PpP)** est vérifiée et si, de plus, on a

$$\text{(PpN)} \quad N^*(\mathfrak{X}_D^*(M)) \subset \mathfrak{X}_D^*(M)$$

---

22. [MaMo84], (6.13)

23. [MaMo84], (6.15) et (6.16).

alors  $\check{M}$  hérite de  $M$  d'une structure de variété PN partielle définie par les tenseurs

$$\check{P} = d_j \circ P \circ \delta_j$$

et

$$\check{N}^* = d_j^{-1} \circ N^* \circ d_j$$

### 4.3 Variétés $P\Omega$ partielles

Adaptant la définition de tenseur présymplectique donnée dans [MaMo84], 2 à notre contexte  $c^\infty$ -complet et voyant, par abus, un tenseur 2 fois covariant<sup>24</sup> comme un morphisme de  $TM$  dans  $T'M$  on introduit :

**DÉFINITION 4.17.** *Un tenseur  $\Omega : TM \rightarrow T'M$  de type  $(0, 2)$  antisymétrique injectif<sup>25</sup> est appelé forme symplectique faible si  $d\Omega = 0$  où pour tout couple de champ de vecteurs  $(X, Y)$ , on a*

$$d\Omega(X, Y) = L_X(\Omega)Y - L_Y(\Omega)X - \Omega([X, Y]) + d\langle \Omega X, Y \rangle$$

**DÉFINITION 4.18.** *Soit  $p^b : T^b M \rightarrow M$  un sous-fibré faible de  $p'_M : T'M \rightarrow M$ . Soient  $P : T^b M \rightarrow TM$  une ancre de Poisson partielle et  $\Omega : TM \rightarrow T'M$  une forme symplectique partielle à valeurs dans  $T^b M$ .  $M$  est dite variété  $P\Omega$  partielle si l'on a la condition de compatibilité*

$$d(\Omega P \Omega) = 0 \tag{4.5}$$

#### 4.3.1 Exemples

**Exemple 4.19.** Structure  $P\Omega$  sur un groupe de Lie admettant un tenseur de Poisson invariant à droite et une forme faiblement symplectique invariante à gauche.

Soit  $G$  un groupe de Banach-Lie de neutre  $e$ ; on désigne par  $\mathfrak{g}$  son algèbre de Lie et par  $\mathfrak{g}^*$  le dual de  $\mathfrak{g}$ .

Pour  $g \in G$ ,  $L_g : h \mapsto g.h$  (resp.  $R_g : h \mapsto h.g$ ) désigne la translation à gauche (resp. à droite).

Toute application linéaire  $\omega : \mathfrak{g} \rightarrow \mathfrak{g}^*$  injective vérifiant, pour tout triplet  $(X, Y, Z)$  d'éléments de l'algèbre de Lie  $\mathfrak{g}$ , les conditions

(AS) [Antisymétrie]

$$\langle \omega X, Y \rangle = -\langle \omega Y, X \rangle$$

(CS) [Cocycle symplectique]

$$\langle \omega[X, Y], Z \rangle + \langle \omega[Y, Z], X \rangle + \langle \omega[Z, X], Y \rangle = 0$$

définit sur  $G$  un tenseur faiblement symplectique  $\Omega : \mathfrak{X}(G) \rightarrow \mathfrak{X}^*(G)$  invariant à gauche.

$G$  est alors muni d'une structure  $P\Omega$  ([MaMo84], 12).

24.  $\omega(X, Y) = \langle \Omega X, Y \rangle$  où  $\omega : \mathfrak{X}(M) \times \mathfrak{X}(M) \rightarrow C^\infty(M)$

25. Classiquement,  $\Omega : TM \rightarrow T'M$  est antisymétrique si  $\Omega + \Omega^* = 0$

### 4.3.2 Opérateur de récursion

Dans le cadre bihamiltonien, la notion d'opérateur de récursion est intimement lié aux deux structures de Poisson compatibles dont l'une est inversible. Un des intérêts majeur de cette opérateur est qu'il permet d'obtenir des intégrales du mouvement pour le système dynamique associé.

Ce processus bien connu en dimension finie peut être étendu au cadre d'espaces de Hilbert séparables où la notion de système Hamiltonien complètement intégrable est associée à la recherche de variables action-angle dans lequel le système peut être linéarisé (e.g. l'équation de Kortevég-de Vries apparaît comme un système intégrable sur une tour d'espaces de Hilbert comme décrit dans [KoKu16]). On trouvera dans l'ouvrage de référence [MaMo84] des exemples d'opérateurs de récursion dans le cadre de structures de Banach. S'agissant de l'existence de variables action-angle, on se référera à 3.2.7.

Il est à noter que ces opérateurs de récursion apparaissent aussi dans le cadre plus général des variétés de Fréchet comme indiqué dans [MMR85].

**DÉFINITION 4.20.** *Soit une variété  $P\Omega$  partielle. On appelle opérateur de récursion le morphisme  $N = P \circ \Omega : TM \rightarrow TM$ .*

Pour une variété  $P\Omega$  partielle, l'opérateur de récursion  $N$  est un *tenseur de Nijenhuis*, i.e. vérifie la condition

$$T(N) = 0$$

où la *torsion* du tenseur  $N$  est donnée, pour tout couple de champs de vecteurs  $(X, Y)$  par

$$T(N)(X, Y) = [NX, NY] - N([NX, Y] + [X, NY] - N[X, Y]) \quad (4.6)$$

Cette relation<sup>26</sup> est alors équivalente à

$$L_{NX}(N) - N.L_X(N) = 0 \quad (4.7)$$

## Références

- [AmAw04] S.E. Amine, A. Awane, *Algebraic integrability*. Painlevé geometry and Lie algebras, volume 47 of *Ergebnisse der Mathematik und ihrer Grenzgebiete. 3. Folge. A Series of Modern Surveys in Mathematics*. Springer-Verlag, Berlin, 2004.
- [AMV04] M. Adler, P. van Moerbeke, and P. Vanhaecke *Variétés de Poisson polarisées*,. CIMPA : Non-Associative Algebras. Analytical, Geometrical Aspects and Applications, Casablanca (2018).
- [Ana11] M. Anastasiei, *Banach Lie algebroids*. An. Ştiinţ. Univ. Al. I. Cuza Iaşi. Mat. (N.S.) 57 (2011), no. 2, 409–416.

---

<sup>26.</sup> cf. [MaMo84], (B.2.3)

- [Arn66] V. Arnold, *Sur la géométrie différentielle des groupes de Lie de dimension infinie et ses applications à l'hydrodynamique des fluides parfaits*. Ann. Inst. Fourier (Grenoble) 16 (1966) 319–361.
- [Bas64] A. Bastiani, *Applications différentiables et variétés différentiables de dimension infinie*. J. Analyse Math. 13 (1964), 1–114.
- [Ben10] Kh. Ben Abdeljelil, *L'intégrabilité des réseaux de 2-Toda et de Full Kostant-Toda périodique pour toute algèbre de Lie simple*. Thèse de Mathématiques. Université de Poitiers, 2010.
- [Bam99] D. Bambusi *On the Darboux Theorem for weak symplectic manifolds*. Proceedings AMS, Vol 127-N11 (1999).
- [BiMo91] I. Białynicki-Birula, P.J. Morrison, *Quantum mechanics as a generalization of Nambu dynamics to the Weyl-Wigner formalism*. Phys. Lett. A 158 (1991) 453–457.
- [Bom67] J. Boman, *Differentiability of a function and of its compositions with functions of one variable*. Math. Scand., 20 (1967) 249–268.
- [Bou72] N. Bourbaki, *Groupes et algèbres de Lie*. Chapitres II et III. Actualités Scientifiques et Industrielles, No. 1349. Hermann, Paris, 1972.
- [CaPe1] P. Cabau, F. Pelletier, *Direct and Projective Limits of Banach Structures*. With the assistance and partial collaboration of Daniel Beltiță. Livre soumis à éditeur.
- [CaPe2] P. Cabau, F. Pelletier, *Almost partial gradient tensors*. Livre en préparation.
- [CaPe12] P. Cabau, F. Pelletier, *Almost Lie structures on an anchored Banach bundle*. J. Geom. Phys. 62 (2012), no. 11, 2147–2169.
- [CrFe11] M. Crainic, R.L. Fernandes, *Lectures on integrability of Lie brackets*. In : T. Ratiu, A. Weinstein, N. T. Zung, *Lectures on Poisson geometry*, Geom. Topol. Monogr., 17, Geom. Topol. Publ., Coventry, 2011, pp. 1–107.
- [CrMo08] M. Crainic, I. Moerdijk, *Deformations of Lie brackets : cohomological aspects*, J. Eur. Math. Soc. 10 (2008) 1037–1059.
- [Fau11] C.-A. Faure, *Théorie de la différentiation dans les espaces convenables*. Thèse, Université de Genève (2011).
- [FrKr88] A. Frölicher, A. Kriegl, *Linear spaces and differentiation theory*. Pure and Applied Mathematics (New York). A Wiley-Interscience Publication. John Wiley & Sons, Ltd., Chichester, 1988.
- [BGJP19] D. Beltiță, T. Goliński, G. Jakimowicz, F. Pelletier, *Banach-Lie groupoids and generalized inversion*. J. Funct. Anal. 276 (2019), no. 5, 1528–1574.
- [Jar81] H. Jarchow, *Locally convex spaces*. Mathematische Leitfäden. B. G. Teubner, Stuttgart, 1981.

- [KaMa98] T. Kappeler, M. Makarov, *On the symplectic foliation induced by the second Poisson bracket for KdV*. In : *Symmetry and perturbation theory*, Quad. Cons. Naz. Ricerche Gruppo Naz. Fis. Mat. 54, Roma (1998) 135–152.
- [Kat58] T. Kato, *Perturbation theory for nullity, deficiency and other quantities of linear operators*. J. Anal. Math. 6 (1958) 273–322.
- [Kel74] H.H. Keller, *Differential calculus in locally convex spaces*. Lecture Notes in Mathematics, 417. Springer-Verlag, Berlin, 1974.
- [KhMi03] B. Khesin, G. Misiolek, *Euler equations on homogeneous spaces and Virasoro orbits*. Advances in Math. 176 (2003) 116–144.
- [Kir81] A. Kirillov, *The orbits of the group of diffeomorphisms of the circle, and local Lie superalgebras*. Funct. Anal. Appl. 15 (1981), 135–136, The orbit method, II : Infinite-dimensional Lie groups and Lie algebras, Contemp. Math, 145 (1993), 33–63.
- [KiVa11] A. V. Kiselev, J. W. Van De Leur, *Variational Lie algebroids and homological evolutionary vector fields*. Theor. Math. Phys. 167 :3 (2011) 772–784.
- [Kole07] B. Kolev, *Bi-Hamiltonian systems on the dual of the Lie algebra of vector fields of the circle and periodic shallow water equations*. Philosophical Transactions. Series A, Mathematical, Physical and Engineering Sciences, 2007, 365 (1858) 2333–2357.
- [KoKu16] E. Korotyaev, S. Kuksin, *KdV Hamiltonian as a Function of Actions*. Journal of Dynamical and Control Systems, Springer Verlag, (2016) 22 (4) 661–682.
- [KSMag90] Y. Kosmann-Schwarzbach, F. Magri, *Poisson-Nijenhuis structures*. Ann. Inst. H. Poincaré Phys. Théor 53 (1990) 35–81.
- [KrMi97] A. Kriegl, P.W. Michor, *The convenient setting of global analysis*. Mathematical Surveys and Monographs, 53. American Mathematical Society, Providence, RI, 1997.
- [GeZa00] I. Gelfand, I. Zakharevich., *Webs, Lenard schemes, and the local geometry of bihamiltonian Toda and Lax structures*. Selecta-Math. (N.S.), 6, 131–183, 2000.
- [LMV11] C. Laurent-Gengoux, E. Miranda, P. Vanhaecke, *Action-angle coordinates for integrable systems on Poisson manifolds*. Int. Math. Res. Not. IMRN 2011, no. 8, 1839–1869
- [Lesl82] J. Leslie, *On the group of analytic diffeomorphisms of a compact real analytic manifold*. Trans. Amer. Math. Soc. 274 (1982), no. 2, 651–669.
- [MaMo84] F. Magri, C. Morosi, *A geometrical characterization of integrable Hamiltonian systems through the theory of Poisson-Nijenhuis manifolds*. Quaderno S/19, Università degli studi di Milano, 1984.
- [Mag78] F. Magri, *A simple model of the integrable Hamiltonian equation*. J. Math. Phys. 19, 1156 (1978).



- [MMR85] F. Magri, C. Morosi, O. Ragnisco, *Reduction Techniques for Infinite-Dimensional Hamiltonian Systems : Some Ideas and Applications*. Commun. Math. Phys. 99 (1985) 115–140.
- [Mar183] C.-M. Marle, *Lie group actions on a canonical manifold*. In : *Symplectic geometry*. Res. Notes in Math., 80, Pitman, Boston, Mass.-London, 1983, pp. 144–166.
- [MaRa99] J.E. Marsden, T.S. Ratiu, *Introduction to mechanics and symmetry*. Second edition. Texts in Applied Mathematics, 17. Springer-Verlag, New York, 1999.
- [Mau03] B.Maurey, *Banach Spaces with Few Operators*. Handbook of the Geometry of Banach Spaces (vol 2 chap 29) 2003
- [Mich38] A. D. Michal, *Differential calculus in linear topological spaces*. Proc. Nat. Acad. Sci. USA 24 (1938), 340–342.
- [Mul07] V. Müller, *Spectral theory of linear operators and spectral systems in Banach algebras*. Birkhäuser Verlag AG, Basel-Boston, Berlin, 2007.
- [NST14] K.H. Neeb, H. Sahlmann, T. Thiemann, *Weak Poisson structures on infinite dimensional manifolds and Hamiltonian actions*. In : V. Dobrev (ed.), *Lie theory and its applications in physics*. Springer Proceedings in Mathematics & Statistics, 111. Springer, Tokyo, 2014.
- [No05] G. Noël, *Bornological quotients*. In : V. Dobrev ed., *Lie theory and its applications in Physics*. Acad. Roy. Belg. Publisher : Académie Royale de Belgique (2005).
- [OdRa03] A. Odziejewicz, T.S. Ratiu, *Banach Lie-Poisson spaces and reduction*. Comm. Math. Phys. 243 (2003), no. 1, 1–54.
- [OdRa08a] A. Odziejewicz, T.S. Ratiu, *Induction for weak symplectic Banach manifolds*. J. Geom. Phys. 58 (2008), no. 6, 701–719.
- [OdRa08b] A. Odziejewicz, T.S. Ratiu, *Induced and coinduced Lie-Poisson spaces and integrability*. J.Funct. Anal., 255 (2008) 1225–1272.
- [Pel12] F. Pelletier, *Integrability of weak distributions on Banach manifolds*. Indag. Math. (N.S.) 23 (2012), no. 3, 214–242.
- [Pel18] F. Pelletier, *On Darboux Theorem for symplectic forms on direct limits of symplectic Banach manifolds*. Mathematics International Journal of Geometric Methods in Modern Physics (2018).
- [PeCa19] F. Pelletier, P. Cabau, *Convenient partial Poisson manifolds*. J. Geom. Phys. 136 (2019), 173–194.  
version complétée : arXiv :1808.02854v3 [math.DG]
- [Rat11] T. S. Ratiu, *Coadjoint orbits and the beginnings of a geometric representation theory*. In : K.-H. Neeb, A. Pianzola (eds.), *Developments and trends in infinite-dimensional Lie theory*. Progr. Math., 288, Birkhäuser Boston, Inc. Boston, MA, 2011, pp. 417–457.

- [RRH18] Z. Ravanpak, A. Rezaei-Aghdam, Gh.Haghighatdoost, *Invariant Poisson-Nijenhuis structures on Lie groups and classification*. International Journal of Geometric Methods in Modern Physics Vol. 15, No. 04, 1850059 (2018).
- [Sche67] M. Schechter *Basic theory of Fredholm operators*. Annali della Scuola Normale Superiore di Pisa, Classe di Scienze 3e série, tome 21, no 2 (1967), pp. 261–280
- [Sch04] R. Schmid, *Infinite Dimensional Lie Groups with Applications to Mathematical Physics*. Journal of Geometry and Symmetry in Physics (2004) 1–67.
- [SBH11] M. Sommer, K. Brazda, M. Hantel, *Algebraic construction of a Nambu bracket for the two-dimensional vorticity equation*. Phys. Lett. A 375 (2011), no. 37, 3310–3313.
- [Spa14] O. Spáčil, *On the Chern-Weil theory for transformation groups of contact manifolds*. PhD Thesis, University of Aberdeen, 2014.
- [Tei01] J. Teichmann, *A Frobenius Theorem on convenient manifolds*. Monatshefte für Mathematik 134 (2001) 159–167.
- [Wei71] A. Weinstein, *Symplectic manifolds and their Lagrangian submanifolds*. Adv. in Math. 6 (1971) 329–346.
- [Wei88] A. Weinstein, *Coisotropic calculus and Poisson groupoids*. J. Math. Soc. Japan 10 (1988) 705–727.
- [Wei94] A. Weinstein, *Lectures on the geometry of Poisson manifolds*. Birkhäuser (1994)
- [Zub97] J. P. Zubelli, *Topics on wave propagation and Huygens' principle*. 21° Colóquio Brasileiro de Matemática. Instituto de Matemática Pura e Aplicada (IMPA), Rio de Janeiro, 1997.